



# VYSOKÉ UČENÍ TECHNICKÉ V BRNĚ

BRNO UNIVERSITY OF TECHNOLOGY

**FAKULTA STAVEBNÍ**  
FACULTY OF CIVIL ENGINEERING

**ÚSTAV VODNÍHO HOSPODÁŘSTVÍ KRAJINY**

INSTITUTE OF LANDSCAPE WATER MANAGEMENT

## **ODHAD BILANCE PLAVENIN VE VYBRANÉM VODOMĚRNÉM PROFILU TOKU**

ESTIMATION OF THE SEDIMENT BALANCE IN THE SELECTED HYDROMETRIC  
PROFILE

**BAKALÁŘSKÁ PRÁCE**  
BACHELOR'S THESIS

**AUTOR PRÁCE**  
AUTHOR

Radek Priesner

**VEDOUCÍ PRÁCE**  
SUPERVISOR

doc. Ing. DANIEL MARTON, Ph.D.

**BRNO 2022**



# VYSOKÉ UČENÍ TECHNICKÉ V BRNĚ

## FAKULTA STAVEBNÍ

**Studijní program**

B3607 Stavební inženýrství

**Typ studijního programu**

Bakalářský studijní program s prezenční formou studia

**Studijní obor**

3647R015 Vodní hospodářství a vodní stavby

**Pracoviště**

Ústav vodního hospodářství krajiny

## ZADÁNÍ BAKALÁŘSKÉ PRÁCE

**Student**

Radek Priesner

**Název**

Odhad bilance plavenin ve vybraném vodoměrném profilu toku

**Vedoucí práce**

doc. Ing. Daniel Marton, Ph.D.

**Datum zadání**

30. 11. 2021

**Datum odevzdání**

27. 5. 2022

V Brně dne 30. 11. 2021

---

doc. Ing. Daniel Marton, Ph.D.  
Vedoucí ústavu

prof. Ing. Miroslav Bajer, CSc.  
Děkan Fakulty stavební VUT

## **PODKLADY A LITERATURA**

Habersack H., Haimann M., Kerschbaumsteiner W., Lalk P. Leitfaden zur Erfassung des Schwebstofftransportes, Wien, 2017.

Hudíková, D. Vazba průtoků a sedimentů ve vybraném vodoměrném profilu povodí řeky Dyje. Brno, 2019. 52 s. Bakalářská práce. Vysoké učení technické v Brně, Fakulta stavební, Ústav vodního hospodářství krajiny. Vedoucí práce Ing. Daniel Marton, Ph.D.

Starý, M. Modul 01 Hydrologie, VUT FAST V Brně, Brno 2005

Zachoval, Z. Splaveniny ve vodních tocích: Modul 1. Brno, 2016.

## **ZÁSADY PRO VYPRACOVÁNÍ**

Problematika transportu sedimentů a jejich následné ukládání v nádržích je poměrně závažný problém, který vodohospodářská odborná veřejnost vnímá velice intenzivně. Z tohoto důvodu jsou práce v dané oblasti žádané. Cílem bakalářské práce je vyhodnotit bilanci plavenin přesněji neropuštěných látek unášených v suspenzi ve vybraném vodoměrném profilu. Výpočet bude složit jako dílčí podklad pro řešení projektu ATCZ28 SEDECO. Praktická aplikace bude provedena na datech měřených v profilu Přibice na řece Jihlavě, kde probíhá kontinuální měření plavenin od roku 2019.

## **STRUKTURA BAKALÁŘSKÉ PRÁCE**

VŠKP vypracujte a rozčleňte podle dále uvedené struktury:

1. Textová část závěrečné práce zpracovaná podle platné Směrnice VUT "Úprava, odevzdávání a zveřejňování závěrečných prací" a platné Směrnice děkana "Úprava, odevzdávání a zveřejňování závěrečných prací na FAST VUT" (povinná součást závěrečné práce).
2. Přílohy textové části závěrečné práce zpracované podle platné Směrnice VUT "Úprava, odevzdávání, a zveřejňování závěrečných prací" a platné Směrnice děkana "Úprava, odevzdávání a zveřejňování závěrečných prací na FAST VUT" (nepovinná součást závěrečné práce v případě, že přílohy nejsou součástí textové části závěrečné práce, ale textovou část doplňují).

---

doc. Ing. Daniel Marton, Ph.D.  
Vedoucí bakalářské práce

## **ABSTRAKT**

Cílem bakalářské práce je vyhodnotit bilanci plavenin, respektive nerozpuštěných látok unášených v suspenzi ve vybraném vodoměrném profilu. Práce dále obsahuje metodický návod na měření a následné vyhodnocení plavenin, který vychází z rakouské metodické příručky Leitfaden zur Erfassung des Schwebstofftransportes (Habersack et al., 2017). Výpočet bude sloužit jako dílčí podklad pro řešení projektu ATCZ28 SEDECO – Sedimenty a ekosystémové služby ve vzájemném působení s povodněmi a suchem v pohraniční oblasti AT-CZ. Praktická aplikace bude provedena na datech měřených v profilu Přibice na řece Jihlavě, kde probíhá kontinuální měření plavenin od roku 2019.

## **KLÍČOVÁ SLOVA**

Plaveniny, bilance plavenin, suspendované látky, koncentrace suspendovaných látok, zákalová sonda, vícebodová metoda, integrační metoda, ADCP, Jihlava.

## **ABSTRACT**

The aim of the bachelor thesis is to evaluate the balance of suspended sediment load, respectively undissolved substances carried in suspension in the selected hydrometric profile. The work also contains methodical instructions for measurement and subsequent evaluation of sediment load, based on the Austrian methodological manual Leitfaden zur Erfassung des Schwebstofftransportes (Habersack et al., 2017). The calculations will be used as a partial basis for the project ATCZ28 SEDECO – Sediments, ecosystem services and interrelation with floods and droughts in the AT-CZ border region. The practical application will be implemented on data measured in hydrometric profile Přibice on the River Jihlava, where continuous measurement of suspended sediment load has been taking place since 2019.

## **KEYWORDS**

Sediment load, balance of suspended sediment load, suspended solids, concentration of suspended solids, turbidity probe, multi-point method, integration method, ADCP, Jihlava.

## BIBLIOGRAFICKÁ CITACE

Radek Priesner *Odhad bilance plavenin ve vybraném vodoměrném profilu toku*. Brno, 2022. 62 s. Bakalářská práce. Vysoké učení technické v Brně, Fakulta stavební, Ústav vodního hospodářství krajiny. Vedoucí práce doc. Ing. Daniel Marton, Ph.D.

## **PROHLÁŠENÍ O SHODĚ LISTINNÉ A ELEKTRONICKÉ FORMY ZÁVĚREČNÉ PRÁCE**

Prohlašuji, že elektronická forma odevzdané bakalářské práce s názvem *Odhad bilance plavenin ve vybraném vodoměrném profilu toku* je shodná s odevzdanou listinnou formou.

V Brně dne 23. 5. 2022

---

Radek Priesner  
autor práce

## **PROHLÁŠENÍ O PŮVODNOSTI ZÁVĚREČNÉ PRÁCE**

Prohlašuji, že jsem bakalářskou práci s názvem *Odhad bilance plavenin ve vybraném vodoměrném profilu toku* zpracoval samostatně a že jsem uvedl všechny použité informační zdroje.

V Brně dne 23. 5. 2022

---

Radek Priesner  
autor práce

## **PODĚKOVÁNÍ**

Velice děkuji vedoucímu bakalářské práce doc. Ing. Danielu Martonovi, Ph.D. za jeho nekončící ochotu, investovaný čas a cenné rady, jež dovedly tento spis do zdárného konce. Za vytrvalou podporu patří obrovské díky také mé rodině a všem mým nejbližším.

# OBSAH

<b>1</b>	<b>ÚVOD .....</b>	<b>1</b>
<b>2</b>	<b>CÍL PRÁCE .....</b>	<b>3</b>
<b>3</b>	<b>SOUČASNÝ STAV POZNÁNÍ.....</b>	<b>4</b>
<b>3.1</b>	<b>SPLAVENINY .....</b>	<b>4</b>
3.1.1	Dělení splavenin .....	5
3.1.2	Vlastnosti splavenin.....	5
<b>3.2</b>	<b>MĚŘENÍ PLAVENIN .....</b>	<b>7</b>
3.2.1	Přímé metody.....	8
3.2.2	Nepřímé metody .....	10
3.2.3	Kombinace přímé a nepřímé metody.....	11
3.2.4	Strategie měření plavenin .....	11
3.2.5	Výběr místa měření .....	12
3.2.6	Vybavení monitorovací stanice .....	13
<b>3.3</b>	<b>DISTRIBUCE KONCENTRACE SUSPENDOVANÝCH LÁTEK V PŘÍČNÉM PROFILU TOKU .....</b>	<b>14</b>
3.3.1	Vícebodová metoda v kombinaci s měřením ADCP .....	15
3.3.2	Integrační metoda .....	16
<b>3.4</b>	<b>LABORATORNÍ ANALÝZA PLAVENIN.....</b>	<b>17</b>
<b>3.5</b>	<b>METODIKA MĚŘENÍ PLAVENIN ČESKÝM HYDROMETEOROLOGICKÝM ÚSTAVEM .....</b>	<b>18</b>
<b>4</b>	<b>METODICKÝ POSTUP.....</b>	<b>20</b>
<b>4.1</b>	<b>PRŮBĚŽNÝ ZÁZNAM ZE SONDY .....</b>	<b>20</b>
<b>4.2</b>	<b>ODBĚR KALIBRAČNÍ VZORKŮ.....</b>	<b>21</b>
<b>4.3</b>	<b>ZJIŠTĚNÍ DISTRIBUCE KONCENTRACE SUSPENDOVANÝCH LÁTEK V PŘÍČNÉM PROFILU TOKU.....</b>	<b>22</b>
<b>4.4</b>	<b>LABORATORNÍ ANALÝZA .....</b>	<b>25</b>
<b>5</b>	<b>PRAKTICKÁ APLIKACE A VYHODNOCENÍ DAT .....</b>	<b>27</b>
<b>5.1</b>	<b>POPIS ŘEŠENÉ OBLASTI.....</b>	<b>27</b>
5.1.1	Geomorfologie.....	28
5.1.2	Klimatologie.....	28
5.1.3	Hydrologie.....	28
<b>5.2</b>	<b>VYHLAZENÍ A DOPLNĚNÍ HODNOT NAMĚŘENÝCH SONDOU .....</b>	<b>30</b>
<b>5.3</b>	<b>KALIBRACE SONDY .....</b>	<b>33</b>
5.3.1	Postup A .....	33

5.3.2	Postup B .....	33
<b>5.4</b>	<b>VYHODNOCENÍ MĚŘENÍ DISTRIBUCE KONCENTRACE SUSPENDOVANÝCH LÁTEK V PŘÍČNÉM PROFILU.....</b>	<b>34</b>
5.4.1	Vyhodnocení měření vícebodovou metodou .....	34
5.4.2	Vyhodnocení měření zařízením ADCP kombinovaným s odběrem vzorků.....	37
5.4.3	Vyhodnocení měření integrační metodou.....	37
<b>5.5</b>	<b>STŘEDNÍ KONCENTRACE SUSPENDOVANÝCH LÁTEK V PŘÍČNÉM PROFILU.....</b>	<b>39</b>
5.5.1	Postup podílem .....	39
5.5.2	Postup regresní analýzou .....	40
<b>5.6</b>	<b>PŘEPOČET HODNOT NAMĚŘENÝCH SONDOU NA STŘEDNÍ KONCENTRACE SUSPENDOVANÝCH LÁTEK.....</b>	<b>43</b>
<b>5.7</b>	<b>VYHODNOCENÍ VÝSLEDKŮ .....</b>	<b>43</b>
5.7.1	Vyhodnocení výsledků o čtyřech měřeních příčného profilu .....	44
5.7.2	Vyhodnocení výsledků o třech měřeních příčného profilu.....	45
5.7.3	Vyhodnocení výsledků o dvou měřeních příčného profilu.....	47
<b>5.8</b>	<b>STATISTICKÉ CHARAKTERISTIKY .....</b>	<b>48</b>
5.8.1	Statistické charakteristiky transportu suspendované hmoty dosažené čtyřmi měřeními příčného profilu.....	48
5.8.2	Statistické charakteristiky transportu suspendované hmoty dosažené třemi měřeními příčného profilu .....	48
5.8.3	Statistické charakteristiky transportu suspendované hmoty dosažené dvěma měřeními příčného profilu .....	49
<b>6</b>	<b>SHRNUTÍ VÝSLEDKŮ .....</b>	<b>50</b>
<b>6.1</b>	<b>SROVNÁNÍ VÝSLEDKŮ S ČESKÝM HYDROMETEOROLOGICKÝM ÚSTAVEM .....</b>	<b>52</b>
<b>7</b>	<b>ZÁVĚR.....</b>	<b>53</b>
<b>8</b>	<b>SEZNAM POUŽITÝCH ZDROJŮ .....</b>	<b>54</b>
<b>SEZNAM TABULEK .....</b>	<b>56</b>	
<b>SEZNAM OBRÁZKŮ .....</b>	<b>58</b>	
<b>SEZNAM POUŽITÝCH ZKRATEK A SYMBOLŮ.....</b>	<b>61</b>	

# 1 ÚVOD

Voda, naše nejcennější surovina, neb bez ní by na naší planetě pravděpodobně nikdy nevznikl život, se na Zemi vyskytuje ve všech třech skupenstvích, tedy v plynném skupenství ve formě vodní páry, v pevném skupenství ve formě ledu a v kapalném skupenství ve formě vody, jak ji známe nejlépe. Drtivá většina pozemské vody je alokována v mořích a oceánech (přibližně 96,5 %), naopak nejmenší část je v řekách, kde zastává objem o velikosti asi  $2\ 120\ km^3$ , což odpovídá ani ne dvou desetitisícinám procenta veškeré vody na zeměkouli [1]. Přesto jsou právě řeky tím, čím se tato práce zabývá.

Již od útlého věku nám je do hlavy vštěpováno, že vodu z řek bychom neměli pít, protože není čistá a sterilní. Mohou se v ní vyskytovat látky a organismy nebezpečné lidskému tělu, jako například viry, bakterie, chemikálie a mnoho dalších, které jsou vázány na jemné částice transportované vodou. Mimo jiné se v řekách vyskytují i nerozpuštěné částice různých velikostí, které s sebou voda unáší. Tyto částice dělíme dle charakteru pohybu v proudu na plávající (částice plovoucí při hladině) a splaveniny (neplovoucí částice pohybující se v mase vody). Splaveniny dále třídíme na dnové splaveniny (pohybující se u dna toku) a plaveniny (částice pohybující se v proudu). Dle původu rozdělujeme splaveniny na splaveniny koryta (vznikají vymíláním dna koryta) a splach (vznikl vymíláním povrchu povodí). [2]

Tyto rozptýlené částice jsou hodné dostatečného monitoringu, neboť na základě jejich koncentrací a jakosti si můžeme vytvořit obrázek, jak moc silná eroze je v okolní krajině a na orně půdě v povodí toku, zdali je na toku řeky vhodné zbudovat vodní elektrárnu či jak velké zanášení dna můžeme očekávat v případě výstavby přehrady nebo rybníku. Znalost splaveninových poměrů je rovněž důležitá pro správný návrh revitalizace koryt toků a jejich korektní správu. [2]

Co se týče způsobů měření těchto suspendovaných látok, lze metody rozdělit na přímé (vzorky suspendovaných látok) a nepřímé (například optické a akustické). Pro následné vyhodnocení množství je vhodné tyto metody kombinovat. Vzorky vody patří k tradičním metodám měření, které po odběru vzorků vyžadují i laboratorní analýzu vlastností suspendovaných látok (velikost zrn, koncentrace atd.). Naopak nepřímé metody měří skrz moderní technologie náhradní parametry, jako útlum zvuku, rozptyl světla či propustnost světla. Ve srovnání s metodami přímými mohou metody nepřímé zaznamenávat data s vyšší časovou variabilitou, avšak je při nich i nadále nutné odebírat vzorky, protože vyžadují kalibraci a ověření zaznamenaných dat. Nepřímé metody jsou kvalitní jen tak, jak kvalitní je následná kalibrace. [3]

Následující řádky budou sloužit jako jeden z dílčích výstupů v rámci projektu ATCZ28 SEDECO – Sedimenty a ekosystémové služby ve vzájemném působení s povodněmi a suchem v pohraniční oblasti AT-CZ.

Tato práce může navíc sloužit jako metodický návod pro správné provedení kombinovaného způsobu měření sedimentů ve vodních tocích. Vedle pokynů k měření plavenin obsahuje tento soupis i popisy postupů při vyhodnocování naměřených dat. Dále jsou zde vysvětleny laboratorní analýzy k určení koncentrace a kvality řešených rozptýlených častic. Nechybí ani vysvětlení následného finálního stanovení objemu suspendovaných látok.

Metodický návod je zpracován dle rakouské metodické příručky „Schwebstoffe im Fließgewässer – Leitfaden zur Erfassung des Schwebstofftransportes“ (Splaveniny ve vodních tocích – pokyny pro záznam transportu splavenin) od autorů: Helmut Habersack, Marlene Haimann, Willibald Kerschbaumsteiner, Petra Lalk (BMLFUW, 2017).

## **2 CÍL PRÁCE**

Cílem bakalářské práce je odhad bilance plavenin v řece Jihlavě ve vodoměrném profilu Přibice, a to v období od 05.09.2019 do 31.10.2021. Součástí je i srovnání výsledných hodnot s hodnotami naměřenými ČHMÚ.

Výstupem budou především tyto parametry:

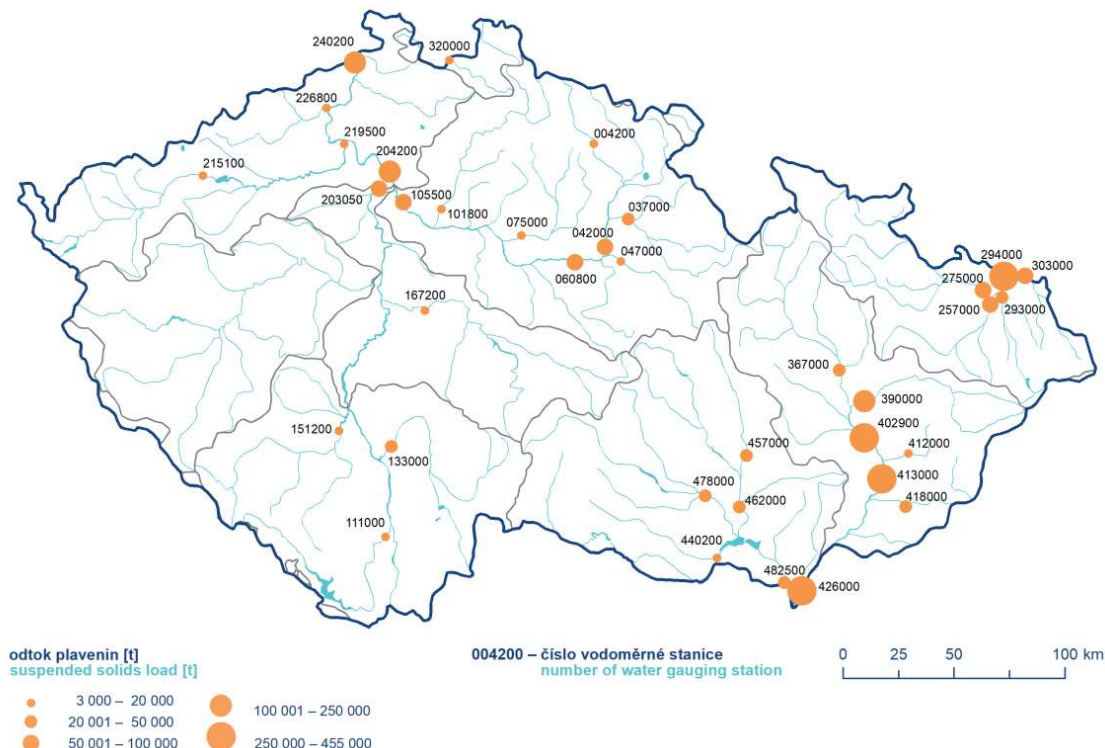
- koncentrace suspendovaných látek [mg/l],
- transport suspendované hmoty [kg/s],
- množství plavenin [t],
- časová a prostorová variabilita.

### 3 SOUČASNÝ STAV POZNÁNÍ

Největším aktérem v otázce monitoringu plavenin na území České republiky je Český hydrometeorologický ústav, který systematicky provádí měření již od roku 1984. Do té doby zde byla všechna měření prováděna pouze účelově a nesystematicky. [2]

#### 3.1 SPLAVENINY

Splaveniny jsou nerozpuštěné látky a částice, které s sebou voda unáší s proudem toku. Jedná se o přirozený, korytotvorný proces, který je zásadní pro přežití mnoha živočichů a organismů, protože splaveniny jsou pro mnohé z nich zdrojem živin a prostředkem jejich pohybu. [2]



Obr. 1. Roční odtoky plavenin v roce 2020 naměřené ČHMÚ [4]

„Hlavním problémem z hlediska zachování plynulého pohybu splavenin po délce toku jsou objekty na tocích vytvářející nádrže a zdrže (přehrady, malé vodní nádrže, jezy), vzdutí při povodních (mosty) a zásobníky splavenin (vývary). Především v nádržích a zdřžích dochází k tak významnému usazování splavenin, že se pod nimi vytváří hladová voda (voda nenasycená splaveninami), která vymílá dno koryta, což může mít zásadní vliv na vývoj koryta pod hrází. Názorným příkladem je vznik hladové vody výstavbou vysoké Asuánské přehrady na Nilu, která způsobila vymílání delty Nilu vzdálené až 1000 km.“ [2]

### 3.1.1 Dělení splavenin

Splaveniny patří mezi pevné (nerozpuštěné) částice a látky, at' už organického či anorganického původu, které přemisťuje proud řeky. Vznikají vymíláním povrchu. Zanikají odběrem nebo usazením na povrchu. [2]

„Dle charakteru pohybu v proudu dělíme nerozpuštěné látky na:

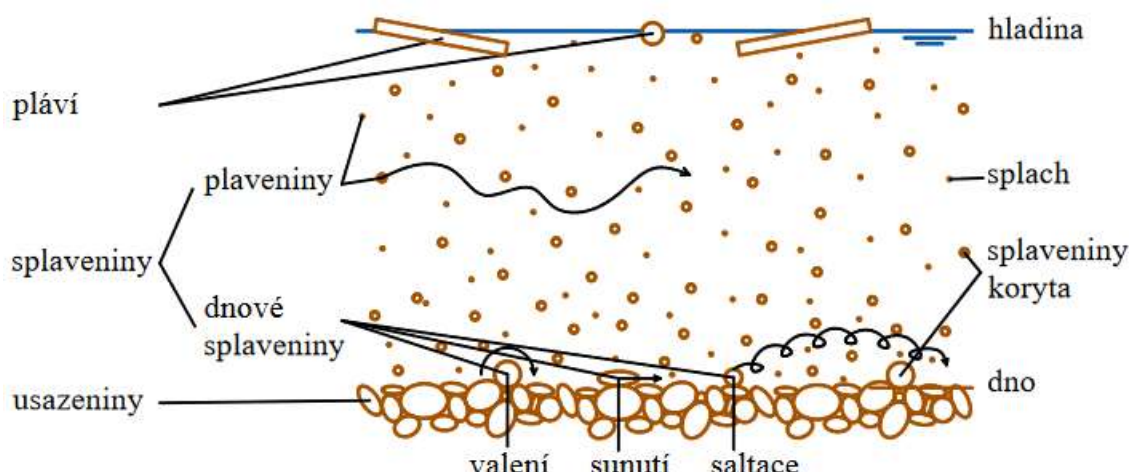
- pláví (spláví) – plovoucí částice pohybující se při hladině,
- splaveniny – neplovoucí částice pohybující se v proudu.

Splaveniny následně dělíme na:

- dnové splaveniny (splaveniny) – splaveniny pohybující se v proudu při dně,
- plaveniny – splaveniny pohybující se (vznášející se) v proudu v suspenzi.

Splaveniny můžeme dále rozlišit dle původu na:

- splaveniny koryta – vznikly vymíláním povrchu koryta toku,
- splach (smyv) – vznikl vymíláním povrchu povodí.“ [2]



Obr. 2. Dělení částic v korytě toku [2]

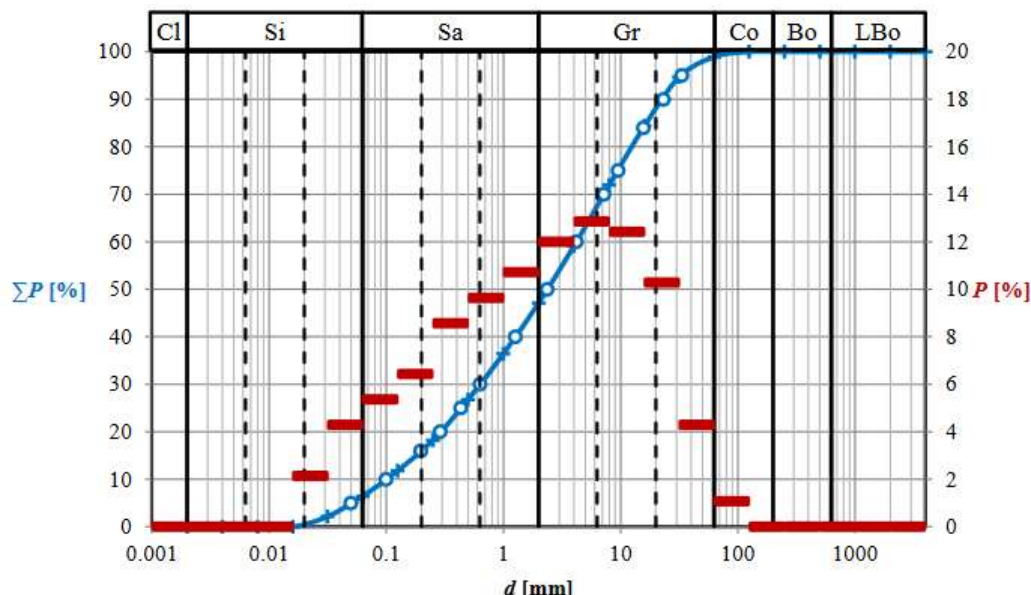
### 3.1.2 Vlastnosti splavenin

Splaveniny jsou tvořeny tuhými částicemi organického i anorganického původu. Organické zastoupení je složeno především z kostí, schránek živočichů a mineralizovaného dřeva. Anorganické částice, jenž svým zastoupením v tocích převyšují organické částice, jsou tvořeny minerály a horninami. [2]

V posledních letech zaznamenáváme výrazný nárůst splavenin antropogenního, tedy lidského původu. Jsou to kupříkladu částice cihel, betonu, skla, střešních krytin a mnoha dalších. Dále se mezi nimi vyskytují částice spojené s činností člověka v povodí a částice z úpravářských a údržbových prací okolo koryta toku (pohoz, zához, drátky atd.). [2]

### 3.1.2.1 Fyzikální vlastnosti splavenin

„Z pohledu fyzikálních vlastností určujeme u splavenin především velikost, tvar, zaoblenost, povrchovou strukturu, objem a hustotu částic.“ [2]

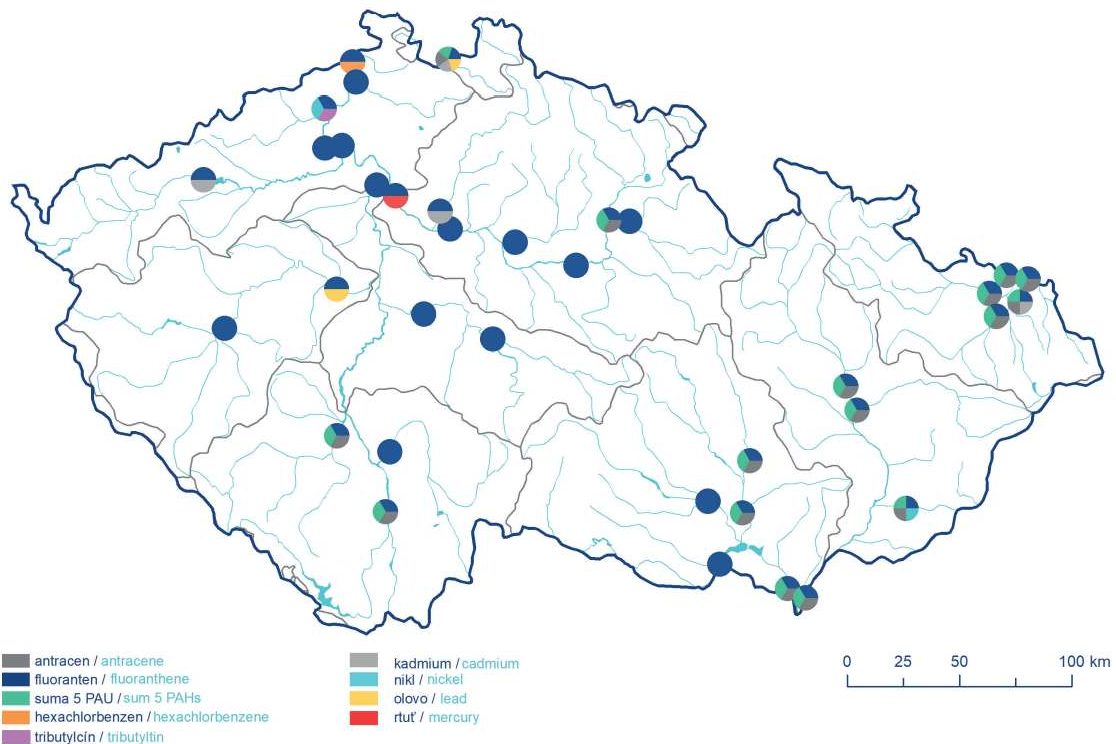


*Obr. 3. Příklad zrnitostní křivky splavenin (červeně – hmotnostní zastoupení frakcí, modře – kumulativní hmotnostní zastoupení frakcí, křížky – hranice frakcí, kružnice – charakteristické velikosti částic) [2]*

O fyzikálních vlastnostech splavenin blíže pojednává studijní opora Splaveniny ve vodních tocích (Zachoval, 2016).

### 3.1.2.2 Chemické vlastnosti splavenin

Ve splaveninách se může vyskytovat obrovské množství organických a anorganických látek. Mnohé z nich se v toku řeky a v suspendovaných látkách vyskytují přirozeně. V případě absence nadměrných koncentrací jsou spíše neškodné a nezpůsobují značné obtíže, avšak při nadlimitních koncentracích mohou způsobovat úhyny vodních živočichů až značnou kontaminaci toku. Problematice měření chemických vlastností splavenin se na území České republiky aktivně věnuje ČHMÚ, který provádí systematický monitoring celkem 26 prioritních látek, z nichž některé mají tendence limitní hodnoty i překračovat, viz obrázek 4 [4]. Pro detailnější informace ohledně chemického rozpoložení splavenin na českém území jsou dobrým zdrojem ročenky, které ČHMÚ pravidelně vydává.



*Obr. 4. Výskyt látek, které překročily limity norem enviromentální kvality v plaveninách v roce 2020 [4]*

O chemických vlastnostech splavenin blíže pojednává například studijní opora Chemie a technologie vody (Malá, 2005).

### 3.2 MĚŘENÍ PLAVENIN

Jak již bylo zmíněno v úvodu této práce, způsoby měření suspendovaných látek lze rozdělit na metody přímé (vzorky suspendovaných látek) a metody nepřímé (optické a akustické). Pro následné vyhodnocení množství je pak vhodné metody přímé a nepřímé kombinovat. [3]

**Tab. 1. Přehled nejběžnějších technologií na měření suspendovaných látek [3]**

<b>Přímý odběr vzorků</b>	
princip měření:	Vzorky směsi vody se splaveninami jsou izokineticky odebírány vzorkovacím zařízením a poté analyzovány v laboratoři.
výhody:	Akceptovaná a osvědčená metoda, která umožňuje stanovit koncentrace a zrnitosti a používá se ke kalibraci řady dalších technologií.
nevýhody:	Slabé časové rozlišení, k získání údajů vyžaduje personál na místě odběru a laboratorní analýzy.
<b>Optické metody</b>	
princip měření:	Měří se zpětná difuze nebo průchod viditelného či infračerveného světla.
výhody:	Jednoduchá a robustní technologie, dobré časové rozlišení, umožňuje záznam dat a dálkové ovládání, relativně levná.
nevýhody:	Závisí na tvaru a velikosti zrn, pouze bodové měření, citlivá ke znečištění.
<b>Akustické metody</b>	
princip měření:	Akustické signály rozptýlené po odrazu od částic suspendovaných látek se používají ke stanovení koncentrace a velikosti zrn.
výhody:	Dobré časové a prostorové rozlišení, velký vertikální dosah, měří bez poruch.
nevýhody:	Zpětně rozptýlené signály se těžko převádějí, při vysoké koncentraci suspendovaných látek signál slabne.

### **3.2.1 Přímé metody**

Jedná se o nejtradičnější způsob měření suspendovaných látek, jehož principem je odběr vzorků a jejich následné laboratorní vyhodnocení. Výsledkem je lokální koncentrace suspendovaných látek v mg/l. Vzorkování lze provádět manuálně nebo strojně.

Fyzický odběr reprezentativních vzorků směsi vody a sedimentů z řek a potoků je naprosto zásadní pro všechny nepřímé metody, jelikož se jedná o jedinou akceptovatelnou formu následné kalibrace a validace. [3]

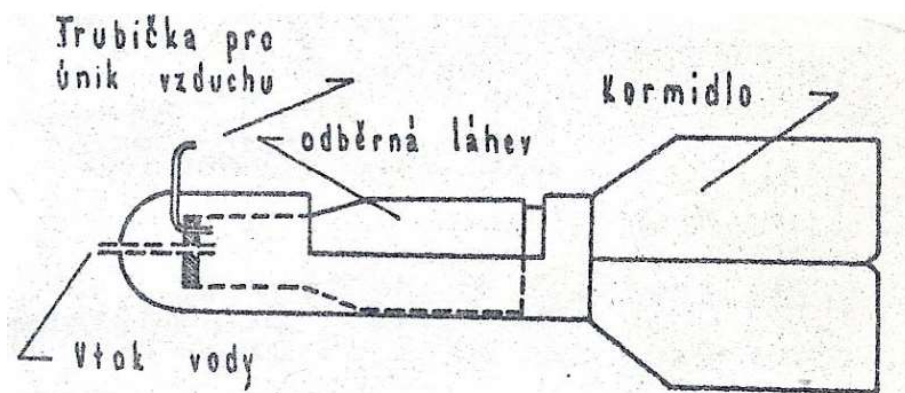
Použitý vzorkovač by měl ideálně být izokinetický, tzn. sběrač odebírá vzorky vody tak, aby rychlosť vody proudící do něj odpovídala rychlosti proudění v toku, takže vzorek vody získaný ve sběrači má stejnou koncentraci suspendovaných látek jako voda v toku. Vstupní otvor sběrače musí být umístěn mimo zónu poruch proudění způsobených sběračem a jeho provozním zařízením. Narušení proudnic, zejména v blízkosti vstupního otvoru, musí být omezeno na minimum, proto osoba manipulující se vzorkovačem musí postupovat dostatečně opatrně, aby svými kroky nebo manipulací se vzorkovačem nerozvřítila sedimenty na dně toku, což by způsobilo značné zkreslení naměřených hodnot. Sběrač musí obsahovat nádobu, kterou lze vyjmout a uzavřít, aby ji bylo možné snadno a bez ztráty obsahu přepravit do laboratoře. Jestliže je nádoba na vzorek součástí sběrače, je třeba obsah pečlivě vyprazdňovat, protože materiál může ulpívat na stěnách nádoby. Pro stanovení koncentrace suspendovaných látek musí mít

vzorek dostatečný objem, takže se doporučuje minimální velikost vzorku 0,50 l. Čas odběru vzorků musí být správně zvolen podle dané situace a typu vzorkovače, aby nedošlo k přeplnění nádoby a tím k umělému zvýšení koncentrace v odebraném vzorku. Sběrač suspendovaných látek uchycený na laně musí mít dostatečnou hmotnost, aby se minimalizovalo vychýlení nosného lana odporem proudění ze svislé polohy, vzorkovač však musí být současně ještě přenosný. Vzorkovač musí mít proudnicový tvar, aby se snížil odpor a minimalizovaly poruchy proudění. Pro použití při vícebodové metodě musí být odběrové zařízení vybaveno ovladatelným ventilem, s výjimkou mělkých, pomalu tekoucích vod. [3]

Jako vzorkovací zařízení může posloužit kupříkladu nádoba na speciálně upravené tyči nebo batometr s pevným tělem a kormidlem. Vzorkovače jsou povětšinou připevněné k teleskopické tyči nebo zavěšené na laně.



*Obr. 5. Možné vzorkovací zařízení: vzorkovač na tyči (vlevo) a sběrač zavěšený na laně (vpravo) [5]*



*Obr. 6. Řez batometrem [6]*

### 3.2.2 Nepřímé metody

Z pohledu stáří jde o mladší způsoby měření suspendovaných látok. Principem je měření náhradních parametrů (útlum zvuku, rozptyl světla, propustnost světla) pomocí moderních technologií. Především jde o měření optické a akustické. Výhodou oproti metodám přímým je větší časová variabilita a dynamika. Nevýhodou je nutný odběr kalibračních a validačních vzorků z důvodu časové variability velikosti částic v toku. Nepřímé metody jsou kvalitní jen tak, jak kvalitní je následná kalibrace. [3]

Nastavení a rozsah měření musí odpovídat danému místu měření. Je nutné přihlédnutí k veškerým přítokům vnášejícím splaveniny k místu měření. Naměřené hodnoty musí být zaznamenávány minimálně v patnáctiminutovém intervalu, u toků s rychle kolísajícími podmínkami by měl být zvolený interval ještě kratší, například pět minut. Při volbě měřicího rozsahu zákalové sondy je nutné zajistit, aby se zachytily i vysoké koncentrace, jaké se vyskytují především při povodních. Je doporučen dálkový přenos a ukládání dat. [3]

Optická zákalová sonda by měla být vybavena automatickým čisticím systémem (stěračem), aby se optika udržela co nejvíce neznečištěná. Přesto je však nutné sondu pravidelně vytahovat z vody a manuálně čistit. Interval čištění se volí dle četnosti a intenzity výskytu nečistot a zanášení sondy. Pokud se na sondě nebo na jejím upevnění zachytí plovoucí předměty (větve, plastové sáčky...), je nutné předměty co nejrychleji odstranit. [3]

**Tab. 2. Požadavky na optické sondy [3]**

<b>parametry měření:</b>	pevné částice (zákal)
<b>rozsah měření TS:</b>	0,001 – min. 50 g/L
<b>interval měření:</b>	$\leq 15$ min
<b>princip měření:</b>	technologie s infračerveným duálně rozptýleným světlem pro na barvě nezávislé měření zákalu
<b>metoda kalibrace:</b>	specifická podle vzorků, založená na gravimetrických analýzách sušiny s korekčním faktorem
<b>automatický čisticí systém:</b>	mechanické čištění, např. stěrač (silikonová guma)
<b>reprodukčnost:</b>	obsah sušiny: < 3 %
<b>provozní podmínky:</b>	0 – 40 °C
<b>materiál:</b>	nerez, křemenné sklo

Jak již bylo zmíněno, sondy neměří v požadovaných jednotkách mg/l, ale pouze v náhradních jednotkách, které se odvíjejí od jejich typu a způsobu kalibrace. Jsou to například:

- NTU (Nephelometric Turbidity Unit),
- FTU (Formazine Turbidity Unit),
- FNU (Formazine Nephelometric Unit),
- FAU (Formazine Attenuation Unit).



*Obr. 7. Optická zákalová sonda Solitax ts-line sc od výrobce Hach [7]*

### **3.2.3 Kombinace přímé a nepřímé metody**

Pro zjišťování množství splavenin je užitečné metody přímé a nepřímé kombinovat. Příkladem takového kombinace může být průběžná detekce zákalu v jednom bodě toku pomocí optické sondy, což umožňuje monitorování změn zákalu v průběhu času. Kvůli časové variabilitě velikosti částic v toku je následně nutné provést kalibraci pomocí ručně odebraných vzorků v blízkosti sondy. Po sestavení hydrogramu koncentrace suspendovaných látek v blízkosti sondy přichází na řadu měření v příčném profilu v podobě vícebodové metody, integrační metody nebo ADCP měření, které zjistí distribuci koncentrace suspendovaných látek v příčném profilu. Po výpočtu transportu suspendované hmoty se vypracuje vztah mezi koncentrací suspendovaných látek v blízkosti sondy a střední koncentrací suspendovaných látek v příčném profilu, s nímž se generuje časová řada střední koncentrace suspendovaných látek v příčném profilu. Díky vynásobení této časové řady časovou řadou průtoku vyplýne jako výsledek transport suspendované hmoty, z něhož lze integrováním zjistit množství suspendované hmoty pro libovolné období. [3]

### **3.2.4 Strategie měření plavenin**

Pro korektní a co nejpřesnější měření plavenin je, především v případě kombinace přímých a nepřímých metod, naprostě zásadní pravidelnost odběrů a měření. V otázce četnosti měření sond je doporučeno zvolit interval dle lokálních podmínek a typu sondy, aby nedošlo k nepostřehnutí vyšších hodnot zákalu. Při málo častém odběru kalibračních vzorků dochází při přepočtu hodnot naměřených sondou ke zkreslení. Pokud je proveden nedostatečný počet měření zjišťujících distribuci koncentrace suspendovaných látek v příčném profilu, lze očekávat zkreslení finálních výsledků v podobě odnosů množství plavenin.

**Tab. 3.** Přehled strategie monitoringu plavenin [3]

parametr	metoda	četnost
zákal	optická zákalová sonda	nepřetržitě
konzentrace suspendovaných látek v blízkosti sondy	bodový odběr v blízkosti sondy (kalibrační vzorky)	závisí na výšce hladiny a koncentraci suspendovaných látek: při nízkých hodnotách méně často, při vysokých hodnotách se zvyšuje až na každodenní
distribuce koncentrace suspendovaných látek v příčném profilu	vícebodová metoda, integrační metoda, měření ADCP kombinované s odběrem vzorků	při různých průtocích podle zajištění charakteristiky příčného profilu (cca dvakrát až čtyřikrát ročně)
kvalita suspendovaných látek	odběr vzorků k získání dostatečného množství	měsíčně

### 3.2.5 Výběr místa měření

Místo měření, respektive umístění měrné stanice, by mělo být zvoleno tak, aby umožňovalo celoroční monitoring a reprezentativní výsledky měření pro daný úsek toku. Již při volbě umístění stanic je proto potřeba brát v potaz průtokové poměry, sedimentační a erozní tendenze, výpusti, vegetaci nebo tvorbu ledu. Přístupnost a funkčnost místa měření by měla být zaručena i při povodních. [3]



*Obr. 8. Měřící místo v Přibicích*

Pro výpočet množství plavenin je třeba průběžně sledovat průtok v místě měření, proto je vhodné umístit monitorovací zařízení na již fungující limnigrafickou stanici, která průtok společně s vodním stavem kontinuálně zaznamenává. V případě zbudování nové měrné stanice je třeba zajistit, zejména pak při povodních, spolehlivý záznam průtoku a transportu suspendované hmoty. [3]

Měřený profil by měl být zvolen tak, aby průtokové poměry byly co nejrovnoměrnější a aby distribuce rychlosti a suspendovaných látek v příčném profilu při různých vodních stavech zůstávala přibližně stejná. Navíc by se v okolí místa měření neměly tvořit zpětné proudy. [3]

### 3.2.6 Vybavení monitorovací stanice

Základem pro průběžný záznam transportu suspendovaných látek je vybavení měrné stanice zákalovou sondou. Sondu je třeba umístit přímo do vodního toku, a to tak, aby měřící senzor byl buď ve směru proudění vody, nebo kolmo k němu. Výška měřícího senzoru ode dna koryta by měla být volena tak, aby se neocitl nad hladinou nebo nezamrzl, ale zároveň aby, v případě větších průtoků, chod dnových splavenin nezkreslil zaznamenávané hodnoty nebo nepoškodil měřící zařízení. V rámci umístění sondy je třeba také zohlednit faktory, které by mohly negativně ovlivnit či zkreslit záznam hodnot (např. biologické znečištění). [3]

Sondu je vhodné chránit ochranným krytem, aby nedošlo k jejímu poškození, odcizení nebo utržení (např. vlivem nárazu plovoucích klád). Držák sondy je ideální zhovit tak, aby bylo možné sondu vytahovat kvůli čištění a revizi, příhodné jsou proto konstrukce sklopné či kolejnicové. [3]



Obr. 9. Uzamčená a krytem chráněná sonda v Přibicích

Pro účely měření plavenin je vhodné vybavit monitorovací stanici následovně:

- zdroj elektriny – přípojka na síť nebo akumulátor,
- ústrojí pro údržbu, ochranu a čištění sondy,
- limnigrafický domek nebo vodotěsná skříňka pro umístění zapisovače dat, akumulátoru aj. [3]



**Obr. 10.** Napájení elektřinou ze solárního panelu (vlevo), limnigrafická stanice (uprostřed), skříňka se zapisovačem dat a akumulátorem (vpravo) [3]

### 3.3 DISTRIBUCE KONCENTRACE SUSPENDOVANÝCH LÁTEK V PŘÍČNÉM PROFILU TOKU

Zjišťování distribuce koncentrace suspendovaných látek slouží ke stanovení střední koncentrace suspendovaných látek v příčném profilu. Mělo by se provádět v dostatečných intervalech a při co nejrozdílnějších průtocích a chodech splavenin, aby bylo co nejvíce vypovídající. K určení příčné distribuce se používá především vícebodové nebo integrované vzorkování. Dále aplikujeme měření ADCP v kombinaci s odběrem vzorků. Dle podmínek a možností na místě měření následně volíme provádění broděním, z mostu nebo ze člunu. [3]



**Obr. 11.** Měření distribuce koncentrace suspendovaných látek v příčném profilu broděním (vlevo), ze člunu (uprostřed) a z mostu (vpravo) [3], [5]

Při provádění vícebodového nebo integrovaného vzorkování s měřením ADCP v kombinaci s odběrem vzorků je třeba vést protokol měření, který bude osahovat všechny náležitosti. [3]

Při měření v příčném profilu za účelem kalibrace optické sondy je třeba zohlednit také následující body:

1. Pro kalibraci musí být vzorek suspendovaných látek odebrán co nejblíže k sondě.
2. Popis na láhvích se vzorky obsahuje označení místa měření, datum odběru vzorků, číslo vzorku a čas odběru.
3. Současně s odběrem kalibračního vzorku u nepřímého měřicího zařízení je třeba podle možnosti odečíst vodní stav, údaj ze sondy a zaznamenat je do protokolu.
4. Tyto pracovní kroky se opakují v takovém intervalu, aby se během měření v příčném profilu získaly nejméně tři vzorky a interval vzorkování nebyl delší než 30 minut. [3]

### 3.3.1 Vícebodová metoda v kombinaci s měřením ADCP

Vícebodovou metodu lze uplatnit do rychlosti proudění toku přibližně 4 m/s, protože při vyšších rychlostech proudění vznikají podmínky, které již neumožňují integrované bodové vzorkování. K odběru je nutné použít izokinetickej sběrač, který bude vhodný pro účely integrovaného bodového vzorkování. [3]

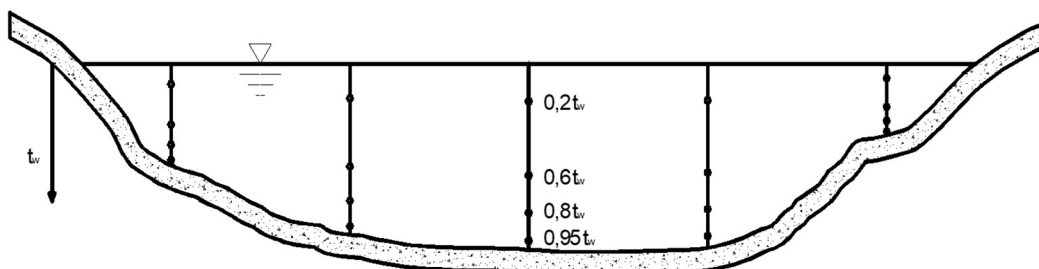
Stanovení střední koncentrace suspendovaných látek v příčném profilu pomocí vícebodové metody je vázané k rychlosti proudu vody, proto je třeba kromě odběru vzorků také měřit rychlosť proudění vody v odběrových bodech. K měření rychlosti proudění je příhodné využít systém ADCP (acoustic Doppler current profiler).



Obr. 12. ADCP zařízení od firmy SONTEC

Jedná se o hydroakustický průtokoměr, který vysílá do vody ultrazvuk různými směry (ty se od sebe v malých úhlech liší) a poté detekuje zpětný signál rozptýlený částicemi vody. Zařízení využívá k určení rychlosti vody Dopplerův efekt, tedy vztah

mezi změnou frekvence zdroje a relativními rychlostmi zdroje a pozorovatele. Hloubku částic, které signál odrazily, lze odhadnout pomocí doby zpoždění impulzu. Výhodou využití systému ADCP je fakt, že zpětně rozptýlený signál přijímaný ADCP zařízením lze převést na relevantní SSC (suspended sediment concentration) data, jelikož rozptyl je úměrný koncentraci. Protože detekovaný zpětně rozptýlený signál závisí na koncentraci a velikosti sedimentu, je nutné odebrat vzorky pro kalibraci měření a pro určení koncentrace suspendovaných látek. Vzhledem k tomu, že provedení i laboratorní vyhodnocení vícebodové metody je časově náročné, lze jej provádět v kombinaci s měřením ADCP s výrazně menším počtem vzorků, díky čemuž je možné distribuci suspendovaných látek v příčném profilu zjistit rychleji. Rozsah použití měřícího zařízení ADCP závisí především na typu použitého přístroje. Tyto průtokoměry pracují s různými frekvencemi a jsou proto vhodné pro různé hloubky vody a rychlosti proudění. V závislosti na distribuci zrnitosti platí, že čím vyšší je frekvence přístroje, tím menší je měřitelný rozsah koncentrace. [3]



**Obr. 13.** Schéma vícebodové metody v pěti vertikálech a čtyřech hloubkových úrovních, kde  $t_w$  představuje hloubku vody na vertikále [3]

### 3.3.2 Integrační metoda

„Integrační metoda je rychlejší než metoda vícebodová, protože je zapotřebí méně vzorků a lze vypustit současné měření rychlosti, proto se přednostně používá při nestabilních průtokových poměrech. Dokonce i v mělkých, brodění umožňujících vodách s nízkou rychlosťí proudění (<1,5 m/s) poskytuje tato metoda dobré výsledky, avšak s rostoucí rychlosťí proudění (>1,5 m/s) klesá u integrační metody přesnost. K odběru je nutné použít izokinetický sběrač, který bude vhodný pro účely integrovaného bodového vzorkování.“ [3]

Při provádění integrační metody rozlišujeme dva přístupy:

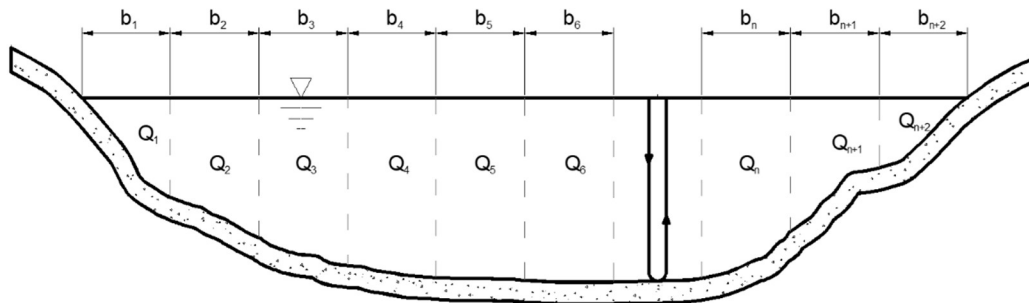
- metoda stejných šírek – Equal-Width-Increment (EWI),
- metoda stejných průtoků – Equal-Discharge-Increment (EDI).

#### 3.3.2.1 Metoda stejný šířek

Principem metody stejný šířek (EWI) je rozdelení příčného profilu toku na úseky o stejné šířce a následné odebírání vzorků ve středu těchto úseků. Metodu lze provádět dvěma způsoby, a to s měřením průtoku, nebo bez měření průtoku. U varianty bez měření průtoku je v každé vertikále nutné mít stejnou rychlosť spouštění a zvedání.

Doplňková měření rychlosti proudu vedou ke zvýšení přesnosti. Je vhodné, aby měření obsahovalo minimálně deset vertikál. [3]

<b>b</b>	šířka úseků (stejná) ( $b_1 = b_2 = b_n$ )
<b>Q</b>	průtok v úsecích (nestejný) ( $Q_1 \neq Q_2 \neq Q_n$ )



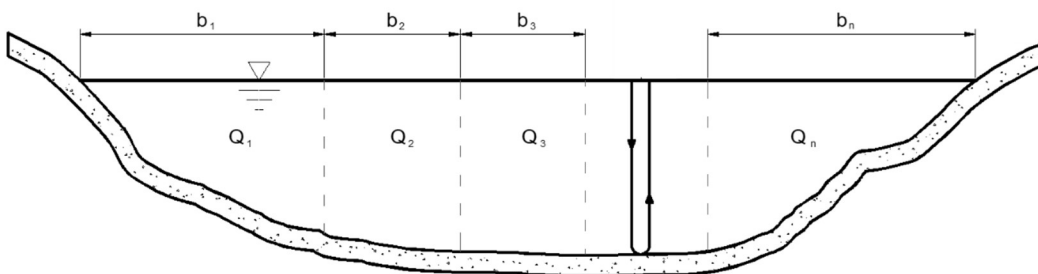
*Obr. 14. Schéma integrovaného vzorkování metodou stejných šírek (EWI) [3]*

Provádění integrovaným vzorkováním metodou stejných šírek detailněji popisuje metodika Leitfaden zur Erfassung des Schwebstofftransports (Habersack et al., 2017).

### 3.3.2.2 Metoda stejných průtoků

Principem metody stejných průtoků (EDI) je rozdelení příčného profilu toku na úseky se stejným průtokem a následné odebírání vzorků na vertikálách, které procházejí těžištěm průtoků v příslušných vertikálách. Nutným předpokladem pro využití této metody je znalost průtokových poměrů v daném profilu. Rychlosť spouštění a zvedání sběrače je možné zvolit pro každou vertikálu zvlášť, není nutná stejná rychlosť v celém profilu, jako je tomu u metody stejných šírek. Výhodou je, že u metody EDI stačí pouze čtyři až devět vertikál, čímž se zkrátí doba odběru a vyhodnocení. [3]

<b>b</b>	šířka úseků (nestejná) ( $b_1 \neq b_2 \neq b_n$ )
<b>Q</b>	průtok v úsecích (stejný) ( $Q_1 = Q_2 = Q_n$ )



*Obr. 15. Schéma integrovaného vzorkování metodou stejných průtoků (EDI) [3]*

Provádění integrovaným vzorkováním metodou stejných průtoků detailněji popisuje metodika Leitfaden zur Erfassung des Schwebstofftransports (Habersack et al., 2017).

## 3.4 LABORATORNÍ ANALÝZA PLAVENIN

Hlavním cílem laboratorní analýzy je určení koncentrace suspendovaných látek, a to skrze filtrační proces. K filtrace lze použít dvě analytické techniky:

- a) tlaková filtrace,
- b) vakuová filtrace.

„Tlaková filtrace působí na vzorek tlakem a vylisuje tak veškerou kapalinu ze vzorku přes membránový filtr, zatímco vakuová filtrace ji přes odpovídající filtr naopak nasává. Částice suspendované hmoty zůstávají od určité velikosti zrn na povrchu filtru. Po vysušení se na přesných váhách (přesnost alespoň  $\pm 0,1$  mg) gravimetricky stanoví hmotnost odfiltrovaných částic suspendovaného materiálu. Pro získání srovnatelných výsledků měření musí mít póry filtrů průměr  $0,45 \mu\text{m}$ . Kvůli hygroskopické a strukturní stabilitě a konstantnímu průměru pórů se jako filtrační materiál osvědčily směsné estery celulózy (acetát nebo nitrát celulózy).“ [3]



*Obr. 16. Vakuové filtrační zařízení (vlevo) a membránové filtry (vpravo) [3]*

### 3.5 METODIKA MĚŘENÍ PLAVENIN ČESKÝM HYDROMETEOROLOGICKÝM ÚSTAVEM

Český hydrometeorologický ústav se na území České republiky věnuje poměrně komplexnímu monitoringu toků, který kromě zjištění bilance transportu a koncentrace plavenin zahrnuje i jejich jakost či analýzu dnových sedimentů. Jejich metodický postup měření plavenin je obdobný jako výše rozepsaný návod, ne však totožný. Nutno podotknout, že každá pobočka ČHMÚ si stanovuje svůj vlastní postup odběru, proto se způsoby mohou napříč kraji mírně lišit.

Původně byly odběry vzorků pro stanovení koncentrace plavenin prováděny ručním izokinetickým vzorkovačem integrálním způsobem v pouze jedné reprezentativní svislici, jež byla stanovena na základě analýzy celého profilu. Nyní se na měrné stanice spíše umisťují strojní vzorkovače (tzv. samplery), které kontinuálně ve zvolených časových intervalech, pomocí sacího koše, automaticky odeberou vzorek vody z jednoho bodu toku. Zařízení provádí odběr standardně jednou denně. Vzorek je umístěny do plastové nádoby o objemu 1,0 l, kterých sampler pojme celkem dvacet čtyři. Z tohoto důvodu se odběrné zařízení zároveň chová jako chladící zařízení a udržuje nízkou teplotu, aby nedošlo k biologickým či chemickým pochodům plavenin, které by významně změnily jejich vlastnosti. Každý 24. den jsou pověřeným

zaměstnancem ČHMÚ všechny vzorky odvezeny do laboratoře, kde následně probíhá jejich analýza. Odběr plavenin je většinou kombinován s občasným měřením příčného profilu systémem ADCP. [8]



*Obr. 17. Sampler (vlevo) a odebrané vzorky (vpravo) v Židlochovicích*

Ještě před samplery byl, například v Židlochovicích, využíván systém přečerpávání vzorků do polohovatelné nádoby umístěné na vnitřní straně stěny stanice. Od tohoto způsobu však bylo brzy upuštěno pro jeho tendenci koncentraci plavenin zkreslovat pokaždé, když došlo k odběru. Rozdílné průměry přívodného potrubí taktéž nebyly příliš vhodné. Tuto metodu nám v Židlochovicích ukázal a okomentoval laskavý pracovník ČHMÚ.



*Obr. 18. V minulosti využívaný systém odběru vzorků suspendovaných látek v Židlochovicích*

## 4 METODICKÝ POSTUP

Tato kapitola postupně popisuje způsob, jakým byla data v zájmové oblasti Přibice získávána a poskytne tak čtenáři podrobný metodický postup, který lze analogicky aplikovat na jiné území o podobných vlastnostech.

V rámci zájmové oblasti byla zvolena kombinovaná metoda měření plavenin, a to pomocí optické zákalové sondy v kombinaci s vícebodovým způsobem zjištění distribuce koncentrace suspendovaných látek v příčném profilu, to vše za doprovodu měření systémem ADCP.

### 4.1 PRŮBĚŽNÝ ZÁZNAM ZE SONDY

Pro účely monitoringu plavenin byla v Přibicích vybrána optická sonda s desetiminutovým intervalem měření. Konkrétně se jedná o optický snímač zákalu S461 Ponsel zakoupený od firmy FIEDLER AMS s.r.o.

*Tab. 4. Parametry užité optické sondy [9]*

<b>princip měření:</b>	nefelometrické měření, 850 nm, 90°
<b>rozsah měření TS:</b>	0 – 4000 NTU v nastavitelných rozsazích
<b>interval měření:</b>	10 min
<b>maximální čas odezvy:</b>	< 1 sekunda
<b>metoda kalibrace:</b>	gravimetrická analýza sušiny s korekčním faktorem
<b>automatický čisticí systém:</b>	snímač má hladkou zkosenou hranu, což zabraňuje většímu usazování nečistot
<b>přesnost měření:</b>	lepší než 5% z rozsahu
<b>rozlišení:</b>	0,01 – 1 NTU
<b>provozní podmínky:</b>	0 – 50 °C
<b>materiál snímače:</b>	PVC, PMMA, polyamid

Sonda je umístěna kolmo na směr proudu řeky. Proti poškození je chráněna ochranným krytem, proti odcizení je zabezpečena zámkem. Od měrné stanice vede k měřícímu zařízení připojovací kabel, který sondě dodává elektrickou energii. Zařízení kontinuálně měří v jednotce NTU. Zjištěné hodnoty odesílá do měrné stanice, kde jsou zaznamenávány a ukládány.



*Obr. 19. Optický snímač zákalu užity v Přibicích – S461 Ponsel [9]*

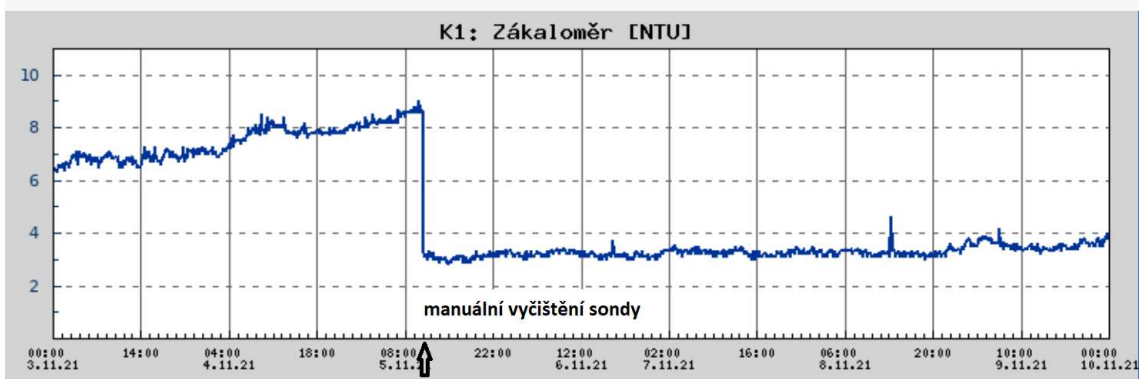


*Obr. 20. Umístění sondy v Přibicích (vlevo), znečištění sondy v Přibicích (vpravo)*

Sonda má do jisté míry samočistící schopnost díky zkosené hraně snímače, přesto jsou však nutné pravidelné revize a čištění sondy z důvodu biologického zanášení, které vede ke zkreslování naměřených dat v podobě velmi vysokých hodnot, nebo naopak hodnot nulových, viz obrázek 21.

### **Stanice Přibice: Změřené hodnoty**

Sledované období: 3.11.2021 00:00 - 10.11.2021 00:00



*Obr. 21. Ukázka skokového poklesu měření NTU po vyčištění sondy (Přibice dne 05.11.2021) [10]*

## **4.2 ODBĚR KALIBRAČNÍ VZORKŮ**

Použitá optická sonda měří v náhradních jednotkách NTU, které se však svou hodnotou neshodují s požadovanými jednotkami mg/l. Z tohoto důvodu je nutná tzv. mokrá kalibrace sondy. Její princip spočívá v odběru kalibračních vzorků po vzoru kapitoly 3.2.1 a současný odečet dat zjištěných sondou, aby bylo možné zjistit korelací obou hodnot a díky tomu přepočítat data naměřená sondou na požadované jednotky.

Kalibrační vzorky je třeba odebírat v pravidelných intervalech (viz tabulka 3), aby při porovnání s naměřenými hodnotami sondou došlo k uspokojivé závislosti obou veličin, což následně umožní přepočet z NTU na mg/l.

K těmto účelům byl použit izokinetický vzorkovač, tedy sběrač konstruovaný tak, aby rychlosť vody proudící do něj odpovídala rychlosť proudění v toku. To má za efekt odběr vzorků se stejnou koncentrací suspendovaných látek, jako má voda v toku. V našem případě byla použita speciálně upravená teleskopická tyč, na jejímž konci se nachází víčko nádoby, ke kterému lze snadno přišroubovat plastovou nádobu určenou pro odebraný vzorek. Nádoba má objem 1,0 l, minimální doporučený objem odebraného vzorku je 0,5 l.

Před každým kalibračním odběrem je vhodné sondu vyčistit od biofilmu a nečistot. Odběr se provádí v bezprostřední blízkosti sondy. Při manipulaci se sběračem je třeba dbát na nerozvíření sedimentů na dně koryta, což by způsobilo významné zkreslení naměřených hodnot. Odběr trvá přibližně třicet sekund.



Obr. 22. Odběr kalibračních vzorků pomocí vzorkovací tyče (vlevo), nádoby s odebranými vzorky (vpravo) [10]

### 4.3 ZJIŠTĚNÍ DISTRIBUCE KONCENTRACE SUSPENDOVANÝCH LÁTEK V PŘÍČNÉM PROFILU TOKU

Zákalová sonda je umístěna u břehu koryta, není proto schopna zjistit distribuci koncentrace suspendovaných látek v celém příčném profilu, což je problematické, neboť v různých částech koryta mohou nastat rozdílné koncentrace plavenin. Tento problém je v Příbicích řešen aplikací vícebodové metody v kombinaci s měřením pomocí systému ADCP.

Zařízením ADCP se měří rychlostní pole v příčném profilu toku. Měření probíhá přejížděním se zařízením od jednoho břehu na druhý, kolmo na tok řeky, pomocí vodícího lana. Přejezdem se vytváří tzv. transekty. Měření probíhá tak dlouho, dokud nejsou výsledky uspokojivé, respektive dokud nejsou vytvořeny alespoň čtyři transekty s celkovou chybou měření průtoku do pěti procent. [10]

Šířka řešeného profilu se většinou pohybuje okolo 23 m, proto bylo koryto pro naše účely rozděleno sedmi svislicemi na celkem osm šířkových dílů. Po zhodnocení výšky hladiny a morfologického uspořádání koryta bylo prvních šest vertikál zpracováváno dvoubodovou metodou (vertikála je rozdělena dvěma body), zatímco sedmá vertikála je řešena jednobodovou metodou (vertikála je rozdělena pouze jedním bodem).

V průběhu vícebodového měření byly u sondy prováděny odběry izokinetickým vzorkovačem, což následně umožnilo zjistit závislost mezi koncentracemi u sondy a koncentracemi v příčném profilu. Odběry byly provedeny vždy celkem tři. První vzorek byl odebrán před začátkem měření, druhý vzorek byl odebrán po změření třetí vertikály, třetí vzorek byl odebrán po ukončení měření.

Zde je uveden doporučený postup při aplikaci vícebodové metody v kombinaci s měřením systémem ADCP, vycházející z metodiky Leitfaden zur Erfassung des Schwebstofftransportes (Habersack et al., 2017):

1. Na začátku měření se do protokolu vyplní následující informace: označení místa měření, datum, druh měření, měřicí zařízení použité pro odběr vzorků suspendovaných látek, měřicí tým, čas a – pokud jsou známy – vodní stav a teplota vody.
2. Od jednoho břehu na druhý se natáhne vodící lano, podél kterého bude probíhat měření.
3. Za vodící lano se připevní ADCP zařízení. Měření rychlosti proudění probíhá tak dlouho, dokud nejsou výsledky uspokojivé.
4. Pomocí měrného pásma se zjistí šířka hladiny příslušného profilu a zapíše se do protokolu. Profil se rozdělí na 5 až 10 úseků stejné šířky. Umístění měřicích vertikál je vždy dáno středy těchto předem definovaných šířkových úseků.
5. Zjistí se hloubka vody v jednotlivých měřicích vertikálách a zapíše se do protokolu.
6. Počet odběrových bodů na každé vertikále se, v závislosti na hloubce vody, stanoví ve stejných relativních odběrových hloubkách. Hloubka odběru (počítáno od hladiny) je, dle zvoleného počtu bodů, následující ( $t_w$  = hloubka vody ve vertikále):
  - a) 5bodová metoda:  $0,05 \cdot t_w, 0,2 \cdot t_w, 0,6 \cdot t_w, 0,8 \cdot t_w, 0,9 \cdot t_w$
  - b) 4bodová metoda:  $0,2 \cdot t_w, 0,6 \cdot t_w, 0,8 \cdot t_w, 0,95 \cdot t_w$
  - c) 3bodová metoda:  $0,2 \cdot t_w, 0,6 \cdot t_w, 0,8 \cdot t_w$
  - d) 2bodová metoda:  $0,2 \cdot t_w, 0,8 \cdot t_w$
  - e) 1bodová metoda:  $0,6 \cdot t_w$
7. Odběr vzorků suspendovaných látek se provádí ve stanovených odběrových bodech, při tom se stopkami měří délka trvání odběru. Vzorkovací láhve by neměly být naplněny do celé kapacity, ale současně by neměly obsahovat méně než polovinu možného množství vzorku. Není-li tato podmínka splněna, musí se odběr vzorků opakovat. Při odběru vzorků je třeba dbát na nerozvříjení sedimentů na dně koryta. Popis na láhvích se vzorkem obsahuje označení místa měření, číslo vzorku a datum odběru.
8. Místo odběru (lokalisace a hloubka odběru), čas odběru, délka trvání odběru a číslo láhve se vzorkem jsou zaznamenány do protokolu. Pokud je to možné, měl by být zadán také údaj ze sondy a vodní stav v době odběru.
9. Postup z bodů 5 až 7 opakujeme i v ostatních odběrových bodech a vertikálách.

10. V průběhu vícebodového měření se v blízkosti sondy provádí odběry izokinetickým vzorkovačem. Při odběru je třeba opět dbát na nezvření sedimentů na dně koryta.
11. Po dokončení měření se do protokolu doplní následující informace (jsou-li známy): vodní stav, teplota vody a čas dokončení měření.
12. Po odběru se vzorky co nejdříve dopraví do laboratoře, kde jsou analyzovány na obsah odfiltrovatelných látek. Pokud laboratorní analýza není v nejbližší době možná, je nutné vzorky umístit do chladícího boxu, aby nedošlo k chemickým a biologickým pochodem, které by mohly ovlivnit jejich vlastnosti.



**Obr. 23.** Natáhnutí vodicího lana (vlevo) a přivázání ADCP zařízení (vpravo)



**Obr. 24.** Natažení měrného pásmá (vlevo) a provádění odběrů vícebodovou metodou (vpravo)



**Obr. 25.** Odběr kalibračních vzorků (vlevo) a následné uložení odebraných vzorků do chladícího zařízení (vpravo)

#### 4.4 LABORATORNÍ ANALÝZA

Laboratorní vyhodnocování nerozpuštěných látek odebíraných v Přibicích je povětšinou prováděno ve vídeňské laboratoři, avšak v případě potřeby disponuje požadovanou laboratorní technikou i Ústav vodního hospodářství krajiny Fakulty stavební Vysokého učení technického v Brně.

„Určení odfiltrovatelných částic látek se provádí podle následujících pokynů:

1. Membránové filtry s podložkou se suší při 105 °C po dobu minimálně 10 minut až max. 3 hodiny, až do dosažení konstantní hmotnosti.
2. Membránový filtr i s podložkou se ihned po vysušení zváží ( $m_a$ ) [mg]. To by se při používání podložek vyžadujících kvůli své tepelné kapacitě snížení teploty mělo provést v exsikátoru.
3. Poté se membránový filtr vloží do filtračního zařízení.
4. Vzorek se nalije do filtračního zařízení a zjistí se přesný objem vzorku ( $V_P$ ) [l]. Pokud to nelze provést, musí se objem předem určit gravimetricky nebo pomocí odměrného válce. Láhve se vzorky a případně i odměrný válec je třeba důkladně opláchnout čistou vodou. Proplachovací voda se zbývajícími suspendovanými látkami se musí rovněž nalít do filtračního zařízení.
5. Během procesu filtrace je nutné pomocí stříčky s čistou vodou zajistit, aby se na membránový filtr dostaly i částice ulpělé na nálevce.
6. Po dokončení filtrace se membránový filtr s odfiltrovanými látkami položí na příslušnou podložku. Membránový filtr s odfiltrovanými látkami a podložkou by se měl znovu sušit až na konstantní hmotnost při 105 °C (alespoň 30 minut, v závislosti na množství a materiálu i déle).
7. Membránový filtr s odfiltrovanými látkami a podložkou se zváží ( $m_b$ ) [mg] ihned po vysušení, nebo musí nejprve vychladnout v exsikátoru.

8. Výpočet sušiny  $m_T$ [mg] se provede dle rovnice:  $m_T = m_b - m_a$  [mg].
9. Koncentrace suspendovaných látek se vypočítá podle vzorce:  $s_0 = m_T/V_P$  [mg/l].“ [3]

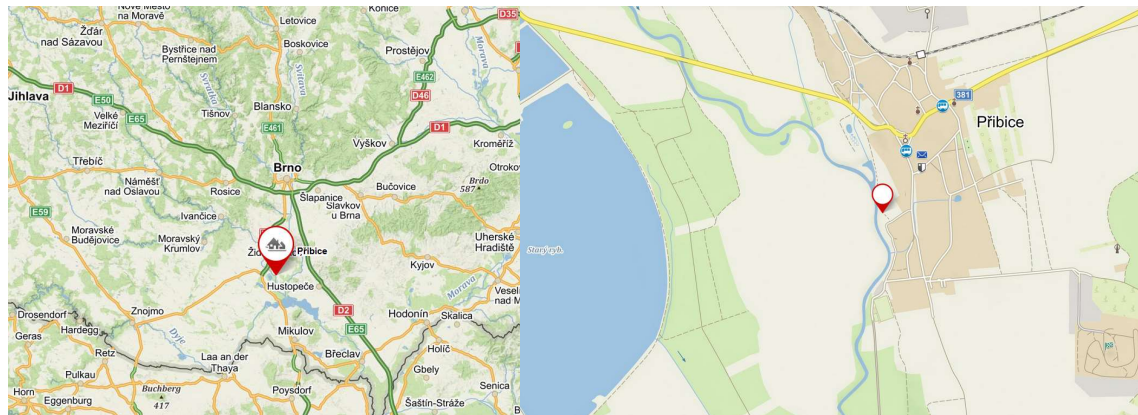


*Obr. 26. Měření nerozpuštěných látok v mg/l pomocí membránové vývěvy přes filtrační soupravu v laboratoři na Ústavu vodního hospodářství krajiny (vlevo) a nerozpuštěné látky z Přibic (odběr dne 05.11.2021) zachycené na membránovém filtru (vpravo) [10]*

## 5 PRAKTICKÁ APLIKACE A VYHODNOCENÍ DAT

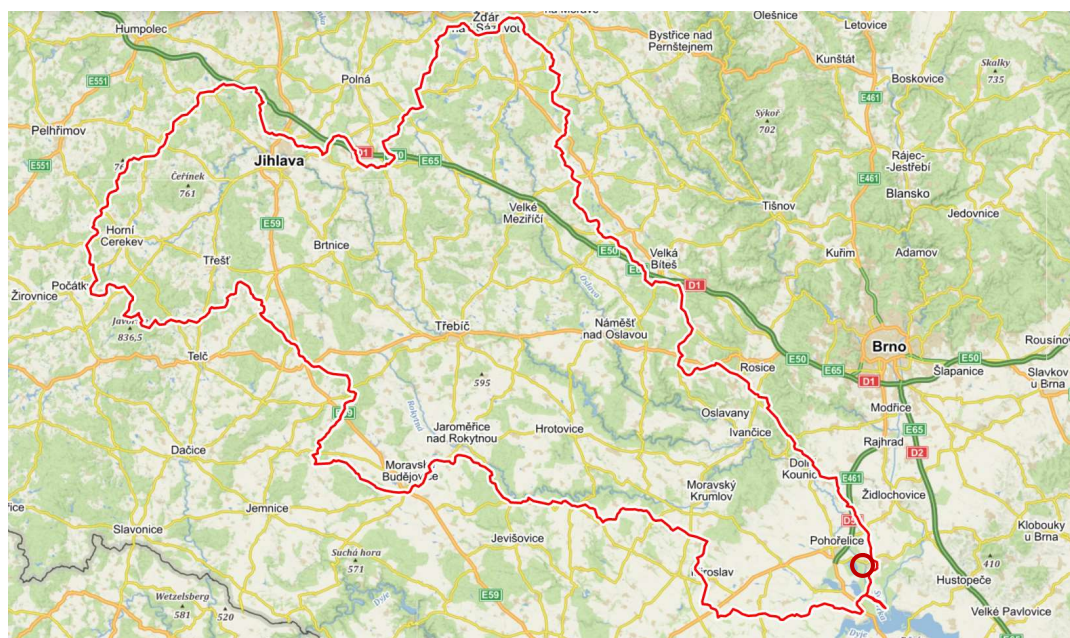
### 5.1 POPIS ŘEŠENÉ OBLASTI

Jak již bylo zmíněno, tato práce se zabývá bilancí plavenin v řece Jihlavě ve vodoměrném profilu Přibice. Obec spadá pod okres Brno-venkov (leží asi třicet kilometrů jižně od Brna) v Jihomoravském kraji. K roku 2021 zde žilo 1 047 obyvatel. V posledních letech pozorujeme postupný úbytek obyvatel. Přibice patří se svou rozlohou o velikosti 7,39 km<sup>2</sup> do katastrálního území Přibice. [11]



Obr. 27. Hrubá lokalizace Přibic (vlevo) a přesné umístění limnigrafické stanice a místa měření (vpravo) [12]

„Při zkoumání struktury půdního fondu je patrné, že majoritní zastoupení má v zájmovém území využití pozemků jako orná půda (621,9 ha). Lesní půda zabírá pouze 2,5 ha. Dále se zde nachází trvalé travní porosty (5,9 ha), sady (3,8 ha), zahrady (20,8 ha) a vinice (1,4 ha). Zbytek plochy území tvoří zejména ostatní plochy (55,3 ha) a zastavěné plochy (16,5 ha). Vodní plochy se rozkládají na 11 ha.“ [11]



Obr. 28. Povodí řeky Jihlavy s vyznačením zájmové lokality [12]

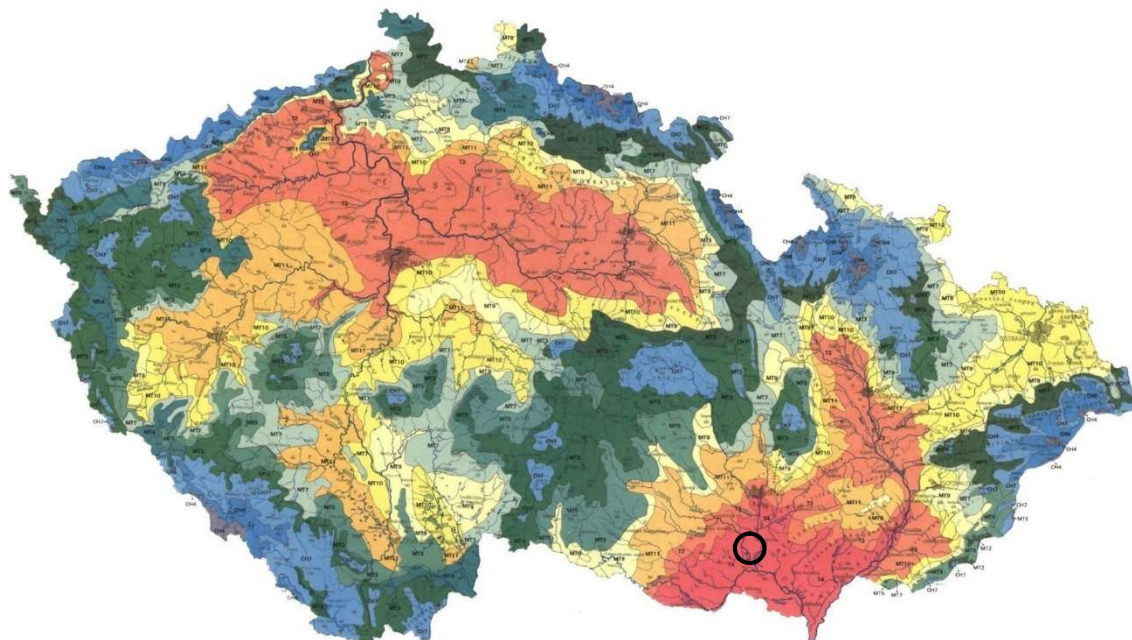
## 5.1.1 Geomorfologie

„Z geomorfologického hlediska se obec Přibice nachází v soustavě Vnější Západní Karpaty, podsoustavě Středomoravské Karpaty, celku Dyjsko-svratecký úval. Vněkarpatské sníženiny představují pruh nižšího a méně členitého území, který probíhá ve směru JZ-SV od Znojma přes Brno. Krajina úvalu je převážně polní, mimo nivy téměř bezlesá. Patří mezi nejsušší a nejteplejší oblasti Česka. Geologické podloží je tvořeno mohutnými usazeninami, v nichž se střídají vrstvy pískovce a jílovce. Na spraších vznikly velmi kvalitní hluboké půdy hlinité černozemě – převážně černozem typická. Na menších plochách se vyskytují též nivní uloženiny slabě až středně karbonátové. Průměrná nadmořská výška Přibic je 180 m n. m.“ [11]

## 5.1.2 Klimatologie

Průměrné roční srážky dosahují až 570 mm, průměrné roční teploty vzduchu se pohybují v intervalu 9-10 °C. [11]

Dle Quittovy klimatické klasifikace (z období od 1961 do 2000) spadají Přibice do oblasti T4, tedy nejteplejší oblasti v České republice. Tato oblast je charakteristická velmi teplým a krátkým jarem, velmi teplým, velmi suchým a velmi dlouhý létem, teplým a velmi krátkým podzimem a velmi teplou, suchou až velmi suchou a velmi krátkou zimou. [13]



*Obr. 29. Klimatické oblasti dle Quittovy klasifikace (z roku 1971) s vyznačením zájmové lokality [13]*

## 5.1.3 Hydrologie

Jedním z nejvýznamnějších prvků Přibic je protékající řeka Jihlava, která pramení na Českomoravské vysočině u obce Jihlávka a ústí do střední nádrže VD Nové Mlýny. Staničení hlásného profilu Přibice se nachází na 7,46 km toku z celkových 184 km.

Plocha povodí obce je 2 998 km<sup>2</sup>. Průměrný sklon toku je v Přibicích 2-3 %. Detailnější informace ohledně hlásného profilu Přibice jsou v ucelené formě špatně dohledatelné. Nejbližším významným hlásným profilem řeky Jihlavy jsou Ivančice. [11]

**Tab. 5.** Nejdůležitější informace z evidenčního listu hlásného profilu Ivančice [14]

Hlásný profil Ivančice		
<b>staničení:</b>	32,95	[km]
<b>plocha povodí:</b>	2679,982	[km <sup>2</sup> ]
<b>nula vodočtu:</b>	194,01	[m n. m.]
<b>průměrný roční stav:</b>	130	[cm]
<b>průměrný roční průtok:</b>	10,389	[m <sup>3</sup> /s]
<b>Q<sub>1</sub> =</b>	93,8	[m <sup>3</sup> /s]
<b>Q<sub>5</sub> =</b>	175	[m <sup>3</sup> /s]
<b>Q<sub>10</sub> =</b>	218	[m <sup>3</sup> /s]
<b>Q<sub>50</sub> =</b>	333	[m <sup>3</sup> /s]
<b>Q<sub>100</sub> =</b>	390	[m <sup>3</sup> /s]

Co se týče příčného profilu koryta, šířka hladiny se při našich měřeních pohybovala okolo 23 m. Výšky vodní hladina se pohybovala v rozmezí od 0,45 do 0,60 m, avšak jak jsme díky zařízení ADCP zjistili v jedné z nadcházejících kapitol (kapitola 5.4.2), ve středu koryta se nachází prohlubeň, která při našich měřeních dosáhla hloubky až 1,0 m od hladiny vody. Výška hladiny je však v průběhu času, vlivem měnícího se průtoku, velmi proměnlivá.



**Obr. 30.** Koryto řeky Jihlavy v Přibicích ze dne 22.04.2022

## 5.2 VYHLAZENÍ A DOPLNĚNÍ HODNOT NAMĚŘENÝCH SONDOU

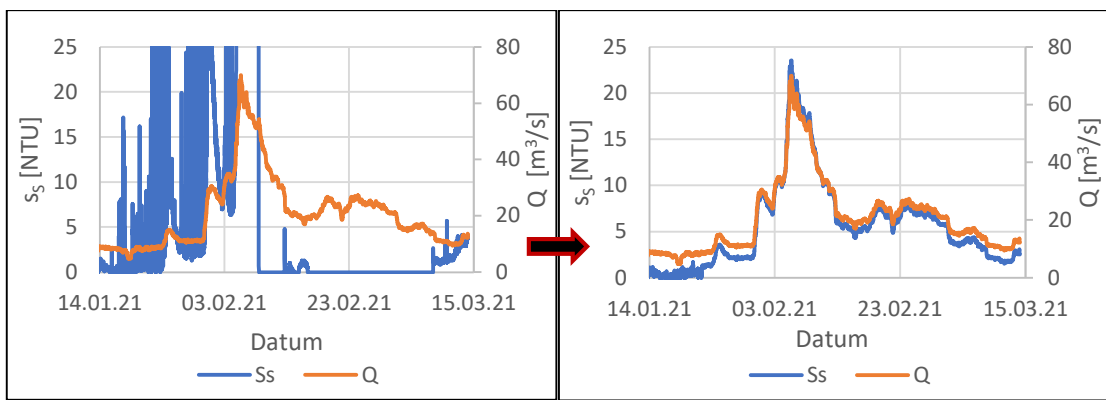
Velkou nevýhodou využití optických sond v otázce měření plavenin je jejich citlivost na znečištění a následná tendence ke zkreslování dat, většinou je tedy zapotřebí korekce naměřených hodnot. Vyskytuje-li se v záznamu sondy nepřesnosti, chybné či chybějící úseky, jako tomu bylo i v případě Přibic, je nutné záznam zkorigovat, viz obrázek 31.

„Při verifikaci však musíme zohlednit i další okolnosti, především vlivy:

- přírodní: např. srážky, povodně, tání sněhu a ledovců, sesuvy půdy,
- antropogenní: např. vodohospodářská opatření, výpusti, vyplachování nádrží,
- specifické vlivy přístrojů a vlivy související s místem měření: např. zanesení štěrkem, vyschnutí, úder blesku, zalednění, vniknutí vody do sondy, plávání, porucha zařízení, měřící rozsah, doba odezvy, přenos dat, údržbářské práce.“ [3]

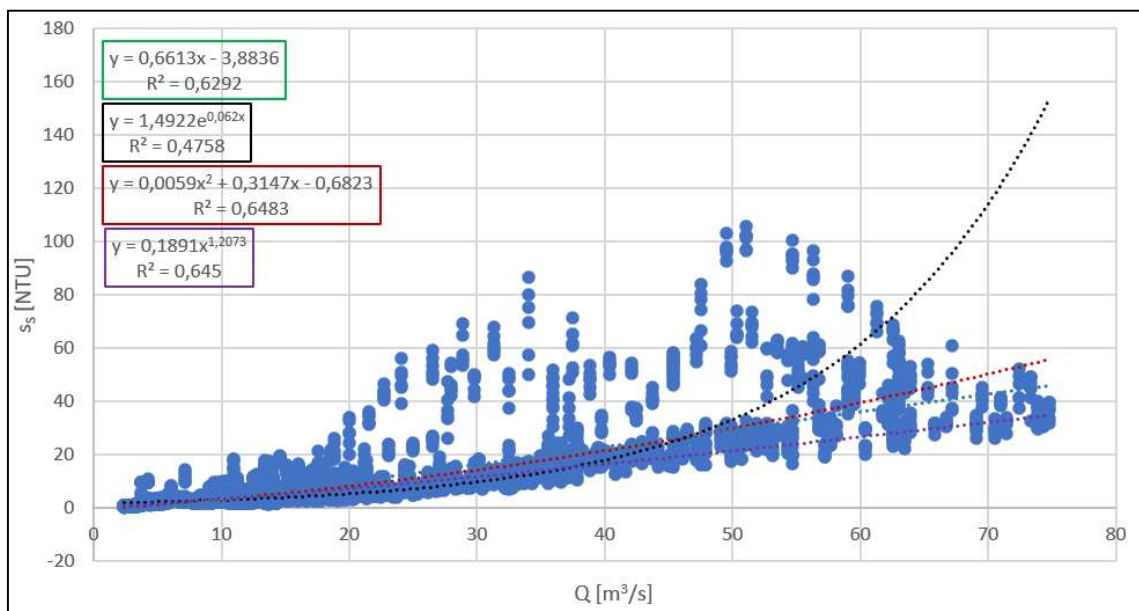
„Jako korekční pomůcky pro opravení hydrogramu sondy lze využít například kalibrační vzorky nebo průtok (při dostatečné souvztažnosti). V případě možnosti lze také využít hydrogram sekundární sondy či vhodného sousedního místa měření na stejném vodním toku. Pokud ke korekci využijeme pouze vzorky suspendovaných látek v blízkosti sondy bez náhradního hydrogramu, takovýto zákrok je zpravidla spojen se ztrátou informací. Při dostatečné korelace mezi hydrogramem sondy a průtokem lze z průtoku pro narušenou oblast sestavit náhradní hydrogram. Výpadek sondy při velmi nízkých vodních stavech je pro výpočet množství plavenin menším problémem, protože přirozený transport suspendované hmoty v dobách nízkého průtoku přispívá k celkovému množství plavenin pouze nepatrně. Takovéto chybné kalibrační vzorky se nekorigují, ale ani se nepoužívají pro další přepočty.“ [3]

Pro účely korigování námi řešených hodnot na území Přibic byla využita kombinace závislosti plavenin na kontinuálně měřeném průtoku (interval měření je jedna hodina) a souvztažností sondou naměřených dat v těsném časovém rozmezí od postiženého, úpravu vyžadujícího úseku. Souhrou těchto pomůcek byl hydrogram za pomocí interpolace vyhlazen a doplněn. Druhým majoritním zásahem bylo vynechání úseku v období od 23.04.2020 v 11:00 do 26.05.2020 v 9:50, protože data v tomto období byla významně nekonzistentní a deformovaná. Takováto intervence byla korektní, neboť průtoky v tomto čase byly značně nízké. Z celkové počtu 787,42 dnů jsme se tímto umazáním dostali na záznam o velikosti 754,47 dnů neboli 2,07 let. Kompletní zkorigovaný hydrogram je vyobrazen na obrázku 33.



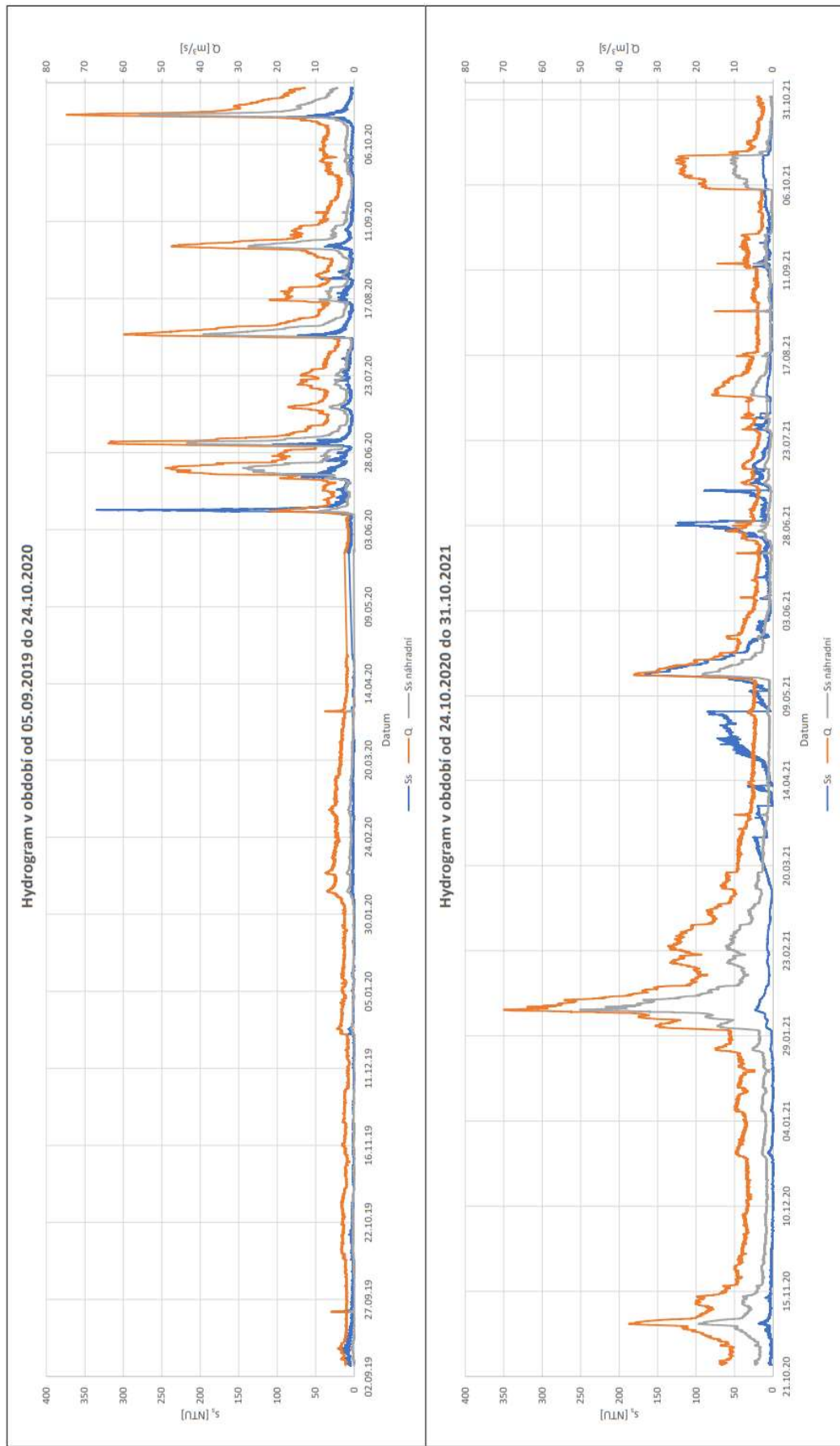
**Obr. 31.** Ukázka vyhlazení a doplnění hodnot velmi poškozené části hydrogramu sondy v Přibicích, kde  $s_s$  [NTU] je záznam sondy a  $Q$  [ $m^3/s$ ] je průtok

Pro lepší pochopení souvislostí a závislostí byl pro naši situaci rovněž sestaven hydrogram náhradní, syntetický. Byl vytvořen na základě korelace průtoku a sondou zjištěných dat, kdy z celkového počtu téměř 110 000 hodnot bylo vybráno přes 10 000 těch nejvíce reprezentativních a s průtokem nejvíce souvztažných. Pro jeho vymodelování byl využit polynomický trend druhého stupně, neboť vykazoval uspokojivou přesnost a dobře vystihoval vzájemnou souvztažnost hodnot, viz obrázek 32. Tento náhradní hydrogram byl následně, pro rozšíření obzorů v oblasti výsledků, vyhodnocen takéž.



**Obr. 32.** Zjištění korelace průtoku  $Q$  [ $m^3/s$ ] a hodnot naměřených sondou  $s_s$  [NTU] pro umělé vytvoření náhradního hydrogramu

**Obr. 33.** Hydrogram obsahující křivku skutečně naměřeného závalu a synteticky vytořenou křivku závalu



## 5.3 KALIBRACE SONDY

Nyní přichází na řadu zjištění závislosti koncentrace suspendovaných látok v odebraných kalibračních vzorcích u sondy na příslušných, v tom samém čase sondou naměřených hodnotách. Tento krok je nutný pro pozdější přepočet dat zaznamenaných sondou na koncentrace suspendovaných látok v blízkosti sondy, protože sondy měří pouze v náhradních jednotkách NTU, nikoli v požadovaných mg/l. K tomu existují dva postupy, nazveme je „A“ a „B“, které lze případně i kombinovat. Je však vhodné pečlivě zvážit, v jakém případě zvolit jaký postup. Jak již bylo v této práci zmíněno, ke kalibraci je třeba odběr dostatečného množství kalibračních vzorků, viz tabulka 3. U vzorků je třeba brát ohled na korektnost jejich odběru.

„Možné zdroje chyb u odebraných kalibračních vzorků:

- chybný odběru vzorků: např. přeplnění či zvíření sedimentů při kontaktu se dnem,
- záměna láhví nebo popisů,
- růst mikroorganismů při příliš dlouhém skladování za vysoké teploty,
- špatná manipulace se vzorky při laboratorní analýze.“ [3]

V námi řešeném území byl zvolen postup „B“.

### 5.3.1 Postup A

Tento postup je vhodný především pro hydrogramy s relativně vysokou časovou hustotou kalibračních vzorků, ale s nepříznivým vztahem mezi měřením zákalu a kalibračními vzorky odebíranými v blízkosti sondy. Principem je výpočet koeficientů kalibrace sondy  $k_s$  dle vzorce:

$$k_s = \frac{s_k}{s_s}, \quad (1)$$

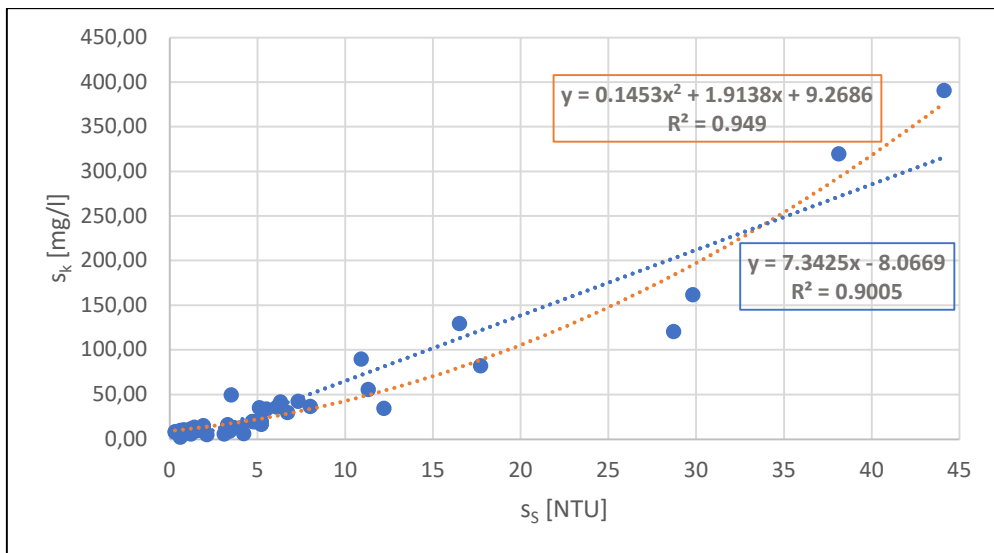
kde:  $k_s$  [-] je koeficient kalibrace sondy,  $s_k$  [mg/l] lokálně měřená koncentrace suspendovaných látok u sondy a  $s_s$  [NTU] je příslušný záznam ze sondy. [3]

Následuje lineární interpolace korekčních faktorů, čímž lze vygenerovat hydrogram koncentrací suspendovaných látok v blízkosti sondy. [3]

### 5.3.2 Postup B

Postup „B“ je vhodný především pro taková místa měření nebo taková časová období, ve kterých existuje dobrá souvztažnost mezi hodnotami získanými sondou a kalibračními vzorky odebíranými u sondy, avšak vzorkování probíhalo v nepravidelných intervalech. Principem přepočtu hodnot ze sondy na koncentrace suspendovaných látok v blízkosti sondy je užití regresní analýzy nebo jiných statistických metod. [3]

Pro náš účel byl použit přepočet pomocí regresní analýzy, přesněji za užití lineárního trendu a za užití polynomického trendu druhého stupně, viz obrázek 34. Oba trendy vykazují velkou přesnost, proto pro maximalizaci škály výsledků byly do vyhodnocení zahrnuty oba.



*Obr. 34. Závislost koncentrace suspendovaných látek u sondy  $s_k$  [mg/l] na záznamu ze sondy  $s_s$  [NTU]*

## 5.4 VYHODNOCENÍ MĚŘENÍ DISTRIBUCE KONCENTRACE SUSPENDOVANÝCH LÁTEK V PŘÍČNÉM PROFILU

Výsledkem měření distribuce koncentrace v příčném profilu je transport suspendované hmoty v příčném profilu  $Q_s$  [g/s]. Počítáme jej dle rovnice:

$$Q_s = \int_{b_A}^{b_E} \int_0^{t_w} s_0(h, b) \cdot v(h, b) dt_w db, \quad (2)$$

kde:  $Q_s$  [g/s] je transport suspendované hmoty v příčném profilu,  $s_0$  [mg/l] koncentrace suspendovaných látek,  $v$  [m/s] rychlosť proudění,  $t_w$  [m] hloubka vody,  $h$  [m] výška nad dnem a  $b$  [m] je šířka hladiny. [3]

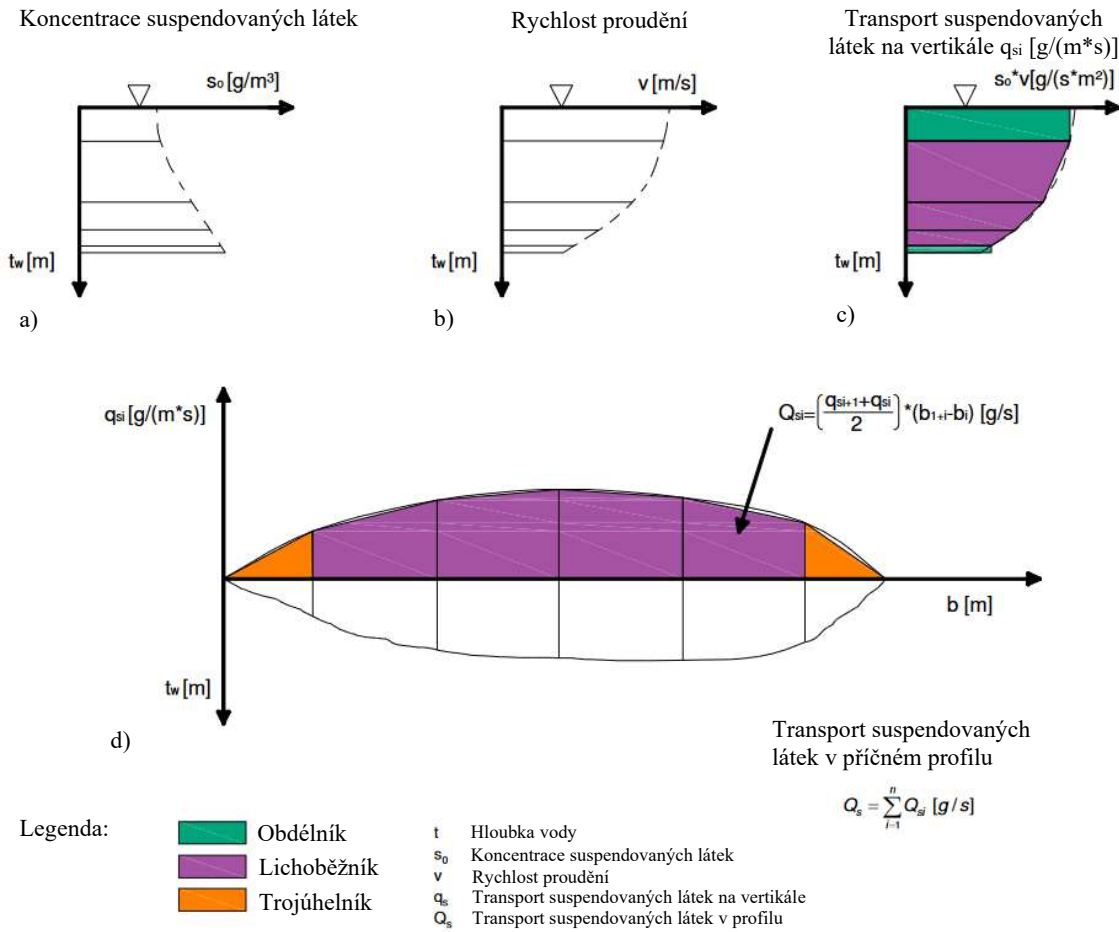
Střední koncentrace suspendovaných látek v profilu je pak podílem transportu suspendované hmoty a průtoku:

$$s_m = \frac{Q_s}{Q}, \quad (3)$$

kde:  $s_m$  [mg/l] je střední koncentrace suspendovaných látek,  $Q_s$  [g/s] transport suspendované hmoty a  $Q$  [ $\text{m}^3/\text{s}$ ] průtok. [3]

### 5.4.1 Vyhodnocení měření vícebodovou metodou

Vyhodnocení odběrů vícebodovou metodou probíhá za laboratorního vyhodnocení koncentrací suspendovaných látek v odběrových bodech. To vše s přihlédnutím k rychlosť proudění. Princip vyhodnocení je graficky znázorněn na následujícím obrázku:



Obr. 35. Grafické znázornenie postupu vyhodnocení vícebodovou metodou [3]

Pri vyhodnocení mērení distribúcie koncentrácií suspendovaných látok v pŕičnom profilu vícebodovou metodou sa postupuje podľa nasledujúcich bodov, ktoré vychádzají z rakouskej metodickéj príručky Leitfaden zur Erfassung des Schwebstofftransports (Habersack et al., 2017):

1. Pred výpočtom transportu suspendovaných látok musí byť do vyhodnocovacieho programu zadaný obecné údaje z protokolu mērení nebo z filtrovaných vzorkov suspendovaných látok (obrázek 36 – hlavička s obecnými údaji). Mely by zahrnovat tyto informácie: datum, miesto, prútok, vodný stav, použité mērící zařízení, mērící tým pri mērení, zpracovateľ a datum vyhodnocení.
2. Do vyhodnocovacieho protokolu se zapisuje označení, vzdáenosť od referenčného bodu a hloubka vody pro každou vertikálu, hloubka odběru vzorků a rychlosť proudení a koncentrácia suspendovaných látok v odběrových bodech (obrázek 36 – naměřená data).
3. V prvním kroku se v každém měřicím bodě a v každé měřicí vertikále vynásobí koncentráce suspendovaných látok  $s_0 \text{ [mg/l]}$  a rychlosť proudení  $v \text{ [m/s]}$  (obrázek 36 – sloupec 1). Chod suspendované hmoty podél vertikály v  $\text{g}/(\text{m}\cdot\text{s})$  se počítá z obsahu plochy každé vertikály od vodní hladiny po dno (obrázek 35c). Za tímto účelem se plochy od nejnižšího bodu odběru po

nejvyšší bod odběru approximují jako lichoběžníky, ale plocha od nejvyššího bodu odběru k hladině a od nejnižšího bodu odběru ke dnu jako obdélníky (obrázek 36 – sloupec 2). Ke zjišťování chodu suspendované hmoty se dílčí plochy každé vertikálně sčítají (obrázek 36 – sloupec 3), čímž zjistíme transport suspendované hmoty na vertikále  $q_{si}$  [g/(m·s)].

- Posledním krokem je výpočet transportu suspendované hmoty  $Q_s$  [g/s] pro celý příčný profil. Ten se ve vnitřních dílcích stanoví pomocí vzorce pro lichoběžník  $[Q_{si} = [(q_{si} + q_{si+1})/2] \cdot (b_{(i+1)} - b_{(i)})]$ , kde transpoarty suspendované hmoty na jednotlivých vertikálách  $q_{si}$  [g/(m·s)] představují strany lichoběžníku a spoluúčastníci šířky  $b$  [m] představují výšku lichoběžníku (obrázek 35d). Rozdílně se vyhodnocují data na okrajích profilu, kde se předpokládá nulový chod suspendované hmoty v místě břehů, kvůli čemuž se transport počítá pomocí vzorce pro trojúhelník (obr. 36 – sloupec 4). Transport suspendované hmoty v příčném profilu  $Q_s$  [g/s] se vypočítá sečtením dílčích ploch  $Q_{si}$  [g/s].

Místo měření	Přibice
Datum měření	08.07.2021
Hladina vody	0,45 m
Průtok dle ADCP	4,583 m <sup>3</sup> /s

Měřicí zařízení	ADCP
Měřicí tým	DM, SP, MB
Zpracovatel	RP
Datum zpracování	15.01.2022

hlavička  
 s obecnými  
 údaji

1
2
3
4

Označení měření	Vzdálenost od ref. bodu	Hloubka vody	Hloubka měření	Označení vzorku	Čas odběru	Koncentrace susp. látek	Rychlosť proudění	Chod susp. hmoty podél vertikál	Chod susp. hmoty na vertikále	Transport susp. hmoty na vertikále	Transport susp. hmoty v profilu
	b	$t_w$				$s_0$	v	$s_0 \cdot v$		$q_{si}$	$Q_s$
	[m]	[m]	[m]			[mg/l]	[m/s]	[g/s·m <sup>2</sup> ]	[g/s·m]	[g/s·m]	[g/s]
											2,48
I	3,00	0,50	0,10	I/1	10:19	28,65	0,145	4,15	0,42	1,65	11,24
				I/2	10:21	28,80	0,085	2,45	0,99		
											0,24
II	6,00	0,50	0,10	II/1	10:23	29,08	0,388	11,28	1,13	5,85	26,20
				II/2	10:25	37,82	0,320	12,10	3,51		
											1,21
III	9,00	0,70	0,14	III/1	10:27	27,55	0,638	17,58	2,46	11,62	38,71
				III/2	10:28	30,06	0,520	15,63	6,97		
											2,19
IV	12,00	0,80	0,16	IV/1	10:33	30,09	0,678	20,40	3,26	14,18	38,38
				IV/2	10:35	31,82	0,473	15,05	8,51		
											2,41
V	15,00	0,60	0,12	V/1	10:37	29,16	0,755	22,02	2,64	11,40	30,59
				V/2	10:39	30,29	0,528	15,99	6,84		
											1,92
VI	18,00	0,45	0,09	VI/1	10:41	29,04	0,728	21,14	1,90	8,99	19,46
				VI/2	10:43	30,34	0,620	18,81	5,39		
											1,69
VII	21,00	0,25	0,15	VII/1	10:45	30,45	0,523	15,93	2,39	3,98	2,99
											1,59
	22,50										

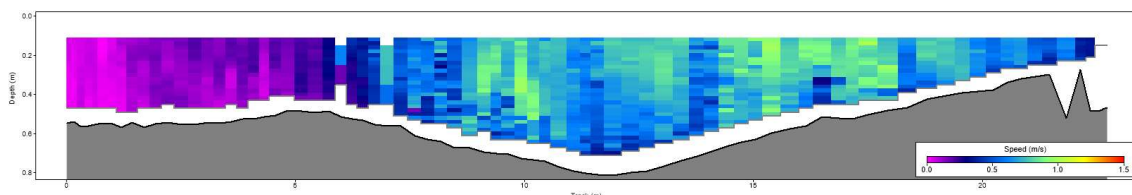
Celkový transport suspendované hmoty $Q_s$ [g/s]	170,04
Celkový transport suspendované hmoty $Q_s$ [kg/s]	0,17
Průtok $Q$ [m <sup>3</sup> /s]	4,583
Střední koncentrace suspendovaných látek $s_m$ [mg/l]	37,1

naměřená data	
---------------	--

Obr. 36. Ukázka listu s vyhodnocením vícebodového odběru

## 5.4.2 Vyhodnocení měření zařízením ADCP kombinovaným s odběrem vzorků

Při vyhodnocení měření zařízením ADCP se intenzity zpětně rozptýlených ozvěn vyslaných z ADCP přepočítají na koncentrace suspendovaných látek. Intenzity, závislé na vlnové délce ultrazvukového signálu, koncentraci suspendovaných látek a distribuci zrnitosti jejich částic, se následně přepočítají pomocí sonarové rovnice [15]. Tomuto se blíže věnuje například práce Estimation of suspended sediment concentrations with ADCP in Danube River (Baranya & Józsa, 2013).



*Obr. 37. Ukázka výsledku rychlostního bodového pole jednoho transektu z přístroje ADCP – Přibice 15.09.2021 [10]*

Measurement Results																	
Tr #	Time			Distance				Mean Vel		Discharge						% Measured	
	Time	Duration	Temp.	Track	DMG	Width	Area	Boat	Water	Left	Right	Top	Middle	Bottom	Total	MBTotal	Measured
1 L	12:08:07 AM	0:01:57	20.0	23.39	21.88	22.880	12.653	0.200	0.470	0.01	0.00	1.27	4.02	0.65	5.946	--	67.6
2 R	12:10:11 AM	0:01:56	20.0	22.44	21.76	22.763	12.375	0.193	0.485	0.01	0.00	1.29	4.06	0.64	6.000	--	67.7
5 L	12:16:24 AM	0:01:47	19.6	24.47	21.96	22.959	12.177	0.229	0.486	0.02	0.00	1.31	3.96	0.64	5.921	--	66.9
6 R	12:18:16 AM	0:01:55	19.7	22.84	21.94	22.937	12.521	0.199	0.471	0.01	0.00	1.38	3.80	0.71	5.898	--	64.4
		<b>Mean</b>	19.8	23.29	21.88	22.885	12.431	0.205	0.478	0.01	0.00	1.31	3.96	0.66	5.941	0.000	66.6
		<b>Std Dev</b>	0.2	0.76	0.08	0.076	0.177	0.014	0.008	0.00	0.00	0.04	0.10	0.03	0.038	0.000	1.3
		<b>COV</b>	0.0	0.033	0.003	0.003	0.014	0.067	0.016	0.343	0.000	0.033	0.025	0.047	0.006	0.000	0.020

*Obr. 38. Výsledky jednotlivých transeků z programu RiverSurveyor Live – Přibice 15.09.2021 [10]*

K výše zmíněnému je zapotřebí odběr vzorků současně s měřením ADCP, díky kterým se zjistí koncentrace suspendovaných látek a velikost zrn. Tím získáme distribuci koncentrace suspendovaných látek v příčném profilu v mg/l. Jelikož se při měření systémem ADCP současně zaznamenává distribuce rychlosti proudění v příčném profilu, je možný výpočet transportu suspendované hmoty a střední koncentrace suspendovaných látek v příčném profilu, a to podle rovnic 2 a 3. [3]

## 5.4.3 Vyhodnocení měření integrační metodou

Pro maximalizaci škály výsledků a rozšíření obzorů jsme zkusili data zpracovat rovněž integrační metodou, byť byla distribuce koncentrace suspendovaných látek v Přibicích zjišťována metodou vícebodovou v kombinaci s měřením ADCP.

Vyhodnocení integrovaného odběru se provádí obdobně jako u odběru vícebodového. První integrace na vertikále probíhá metodou samotného vzorkování. Střední koncentrace na vertikále je v této metodě váženou koncentrací, vyplývající z požadované izokinety a konstantní rychlosti zvedání a spouštění vzorkovače. [3]

U metody EWI ve variantě 2 (s měřením průtoku) se před výpočtem transportu suspendovaných hmot zadají do vyhodnocovacího listu obecné údaje z protokolu měření nebo z filtrovaných vzorků suspendovaných látek (obrázek 39 – hlavička s obecnými údaji). Měly by zahrnovat tyto informace: datum, místo, průtok, vodní stav, použité měřicí zařízení, měřící tým při měření, datum a zpracovatel vyhodnocení. Do vyhodnocovacího listu se dále zadává označení, vzdálenost od referenčního bodu, hloubka vody, rychlosť proudění a koncentrace suspendovaných látek pro každou vertikálu (obrázek 39 – naměřená data jednotlivých vertikál). [3]

„Výpočet se provádí vynásobením střední rychlosti na vertikále  $v_{ml}$  [m/s] a střední koncentrace integrovaného vzorku ( $s_{ml}$ ) [mg/l] (obrázek 39 – sloupec 1). Chod suspendované hmoty  $q_{si}$  [g/s·m] se počítá podle rovnice 4 (obrázek 39 – sloupec 2):

$$q_{si} = (s_{ml} v_{ml}) t_{wl}, \quad (4)$$

kde:  $q_{si}$  [g/s·m] je chod suspendované hmoty,  $s_{ml}$  [mg/l] je střední koncentrace integrovaného vzorku,  $v_{ml}$  [m/s] je střední rychlosť proudění na vertikále a  $t_{wl}$  [m] je hloubka vody na příslušné vertikále.

Pomocí vzorce pro plochu lichoběžníků (rovnice 5) lze určit dílčí transitory suspendované hmoty v profilu  $Q_{si}$  [g/s] a jejich následnou sumou lze zjistit celkový transport suspendované hmoty v celém profilu  $Q_s$  [g/s] (obrázek 39 – sloupec 3).

$$Q_{si} = \left[ \frac{q_{si} + q_{si+1}}{2} \right] (b_{i+1} - b_i), \quad (5)$$

kde:  $Q_{si}$  [g/s] je dílčí transport suspendované hmoty v profilu,  $q_{si}$  [g/s·m] je chod suspendované hmoty a  $b$  [m] je vzdálenost od referenčního bodu.“ [3]

Místo měření	Přibice	
Datum měření	26.07.2021	
Hladina vody	0,60 m	
Průtok dle ADCP	9,88 m <sup>3</sup> /s	

Měřicí zařízení	ADCP	
Měřicí tým	DM, SP, MB	
Zpracovatel	RP	
Datum zpracování	15.01.2022	

hlavička s obecnými údaji

1
2
3

Označení měření	Vzdálenost od ref. bodu	Hloubka vody	Označení vzorku	Čas odběru	Střední koncentrace susp. látek	Střední rychlosť proudění	Chod susp. hmoty	Transport susp. hmoty na vertikále	Transport susp. hmoty v profilu
	$b$	$t_{wl}$			$s_{ml}$	$v_{ml}$	$s_{ml} \cdot v_{ml}$	$q_{si}$	$Q_{si}$
	[m]	[m]			[g/m <sup>3</sup> ]	[m/s]	[g/s·m <sup>2</sup> ]	[g/s·m]	[g/s]
	0,00								62,45
I	3,00	0,70	I	10:36	195,64	0,304	59,48	41,63	170,38
II	6,00	0,65	II	10:40	219,65	0,504	110,70	71,96	437,22
III	9,00	0,90	III	10:44	247,50	0,986	243,91	219,52	754,73
IV	12,00	1,00	IV	10:51	312,02	0,909	283,63	283,63	743,20
V	15,00	0,80	V	10:56	311,89	0,849	264,80	211,84	616,67
VI	18,00	0,60	VI	10:58	313,18	1,061	332,13	199,28	464,41
VII	21,00	0,40	VII	11:02	330,33	0,835	275,83	110,33	110,33
	23,00								

naměřená data

Celkový transport suspendované hmoty $Q_s$ [g/s]	3359,40
Celkový transport suspendované hmoty $Q_s$ [kg/s]	3,36
Průtok $Q$ [m <sup>3</sup> /s]	9,88
Střední koncentrace suspendovaných látek $s_m$ [mg/l]	340,0

**Obr. 39.** Ukázka listu s vyhodnocením integračního odběru

„U metody EWI ve variantě 1 (bez měření průtoku) se provádí zjišťování střední koncentrace suspendovaných látek pro celý profil  $s_m$  [mg/l], vážené podle příslušného průtoku, pomocí „myšleného sloučení“ všech vzorků z profilu. Objem vzorků  $V_p$  [l] na jedné vertikále se pokládá za přímo úměrný ke střední rychlosti proudění na této vertikále. Střední koncentrace suspendovaných látek  $s_{mL}$  [mg/l] se počítá podle rovnice 6:

$$s_m = \frac{\sum s_{mL} \cdot V_p}{\sum V_p}, \quad (6)$$

kde:  $s_m$  [mg/l] je střední koncentrace suspendovaných látek pro celý profil,  $s_{mL}$  [mg/l] je střední koncentrace suspendovaných látek na jedné vertikále a  $V_p$  [l] je objem vzorků na jedné vertikále.

Při použití metody EDI se střední koncentrace suspendovaných látek určuje aritmetickým průměrováním koncentrací suspendovaných látek na jednotlivé vertikále. To je možné díky umístění měřicí vertikály propořeně k průtoku.“ [3]

## 5.5 STŘEDNÍ KONCENTRACE SUSPENDOVANÝCH LÁTEK V PŘÍČNÉM PROFILU

V následujícím kroku je třeba zjistit souvislosti mezi střední koncentrací suspendovaných látek v příčném profilu  $s_m$  [mg/l] a lokálně měřenou koncentrací u sondy  $s_k$  [mg/l] a tuto souvislost využít k přepočítání lokálního měření sondy na koncentraci suspendovaných látek v celém příčném profilu. K tomuto kroku můžeme opět přistupovat, podobně jako v kapitole 5.3, dvěma postupy, a to podílem nebo regresní analýzou. V našem případě byly pro maximalizaci škály výsledků využity oba postupy.

V případě Přibic zde však narázíme na problém, který bude patrný v následujících kapitolách. Pro řešené území byly v době tvorby této práce zhotoveny pouze čtyři analýzy distribuce koncentrace suspendovaných látek v příčném profilu, ve kterých ale nenacházíme uspokojivou korelací mezi střední koncentrací suspendovaných látek v příčném profilu a lokálně měřenou koncentrací suspendovaných látek u sondy. Z tohoto důvodu byly vyzkoušeny tři verze přepočtu, a to se všemi čtyřmi měřením, se třemi měřeními a s pouze dvěma měřeními příčného profilu. Vždy bylo odebráno to nejvíce nekorelující měření.

### 5.5.1 Postup podílem

V postupu podílem zjišťujeme vzájemné souvislosti poměrem obou hodnot, čímž získáme konkrétní reálné číslo. Výpočet je dle vzorce:

$$k_p = \frac{s_m}{s_k}, \quad (7)$$

kde:  $k_p$  [-] je koeficient příčného profilu,  $s_m$  [mg/l] je střední koncentrace suspendovaných látek v příčném profilu a  $s_k$  [mg/l] je lokálně měřená koncentrace u sondy. [3]

### 5.5.1.1 Vyhodnocení čtyř měření příčného profilu podílem

*Tab. 6. Vyhodnocení koeficientu  $k_p$  čtyřmi měřenými příčného profilu*

Vícebodová metoda vyhodnocení					Integrační metoda vyhodnocení				
měření	Q [m <sup>3</sup> /s]	S <sub>m</sub> [mg/l]	S <sub>k</sub> [mg/l]	k <sub>pi</sub> [-]	měření	Q [m <sup>3</sup> /s]	S <sub>m</sub> [mg/l]	S <sub>k</sub> [mg/l]	k <sub>pi</sub> [-]
1	4,58	37,10	29,79	1,25	1	4,58	37,27	29,79	1,25
2	9,88	339,64	31,10	10,92	2	9,88	340,02	31,10	10,93
3	3,33	12,84	109,66	0,12	3	3,33	12,81	109,66	0,12
4	5,94	14,66	195,64	0,07	4	5,94	14,66	195,64	0,07
			k <sub>p</sub> [-] =	<b>3,09</b>					k <sub>p</sub> [-] = <b>3,09</b>

### 5.5.1.2 Vyhodnocení tří měření příčného profilu podílem

*Tab. 7. Vyhodnocení koeficientu  $k_p$  třemi měřenými příčného profilu*

Vícebodová metoda vyhodnocení					Integrační metoda vyhodnocení				
měření	Q [m <sup>3</sup> /s]	S <sub>m</sub> [mg/l]	S <sub>k</sub> [mg/l]	k <sub>pi</sub> [-]	měření	Q [m <sup>3</sup> /s]	S <sub>m</sub> [mg/l]	S <sub>k</sub> [mg/l]	k <sub>pi</sub> [-]
1	4,58	37,10	29,79	1,25	1	4,58	37,27	29,79	1,25
3	3,33	12,84	109,66	0,12	3	3,33	12,81	109,66	0,12
4	5,94	14,66	195,64	0,07	4	5,94	14,66	195,64	0,07
			k <sub>p</sub> [-] =	<b>0,48</b>					k <sub>p</sub> [-] = <b>0,48</b>

### 5.5.1.3 Vyhodnocení dvou měření příčného profilu podílem

*Tab. 8. Vyhodnocení koeficientu  $k_p$  dvěma měřenými příčného profilu*

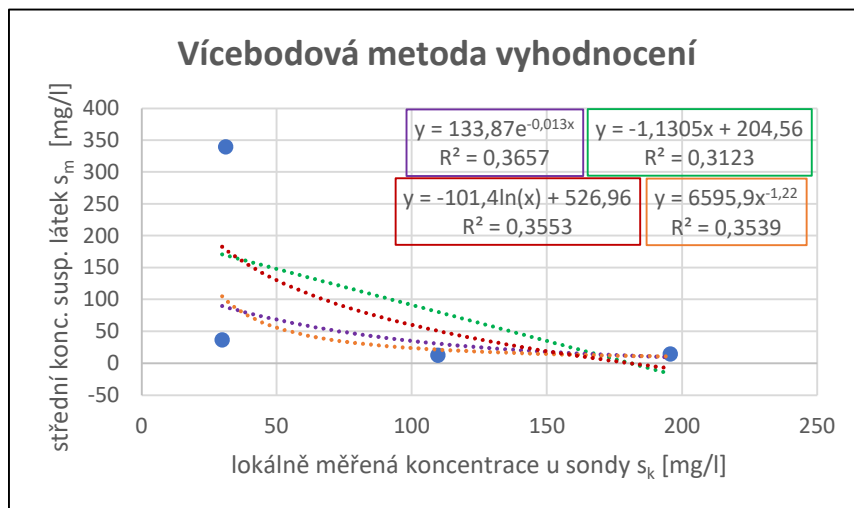
Vícebodová metoda vyhodnocení					Integrační metoda vyhodnocení				
měření	Q [m <sup>3</sup> /s]	S <sub>m</sub> [mg/l]	S <sub>k</sub> [mg/l]	k <sub>pi</sub> [-]	měření	Q [m <sup>3</sup> /s]	S <sub>m</sub> [mg/l]	S <sub>k</sub> [mg/l]	k <sub>pi</sub> [-]
3	3,33	12,84	109,66	0,12	3	3,33	12,81	109,66	0,12
4	5,94	14,66	195,64	0,07	4	5,94	14,66	195,64	0,07
			k <sub>p</sub> [-] =	<b>0,10</b>					k <sub>p</sub> [-] = <b>0,10</b>

## 5.5.2 Postup regresní analýzou

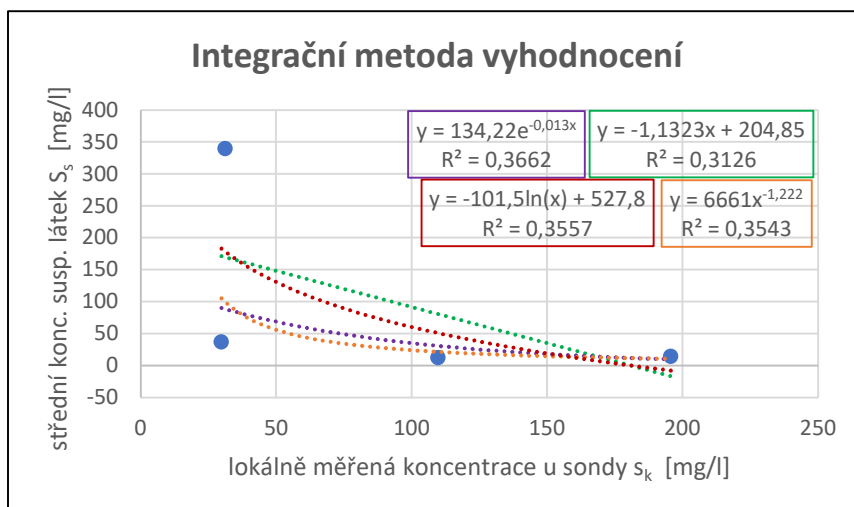
Využitím tohoto postupu lze odhadnout střední koncentrace suspendovaných látek pro všechny koncentrace v blízkosti sondy pomocí regresních rovnic nebo jiných statistických metod. Je nutno brát v potaz, že vztah mezi koncentrací v blízkosti sondy a střední koncentrací suspendovaných látek je odlišný pro jednotlivá měření a je, mimo jiné, ovlivněn místem odběru kalibračních vzorků, distribucí rychlosti nebo morfodynamikou. [3]

### 5.5.2.1 Vyhodnocení čtyř měření příčného profilu regresní analýzou

Pro přepočet skrz regresní analýzu byl v obou případech zvolen exponenciální trend pro svou vlastnost dobře vystihovat závislost obou hodnot a zároveň pro svou schopnost nepřepočítávat data do mínušových hodnot a současně data nenechávat hodnocovat.



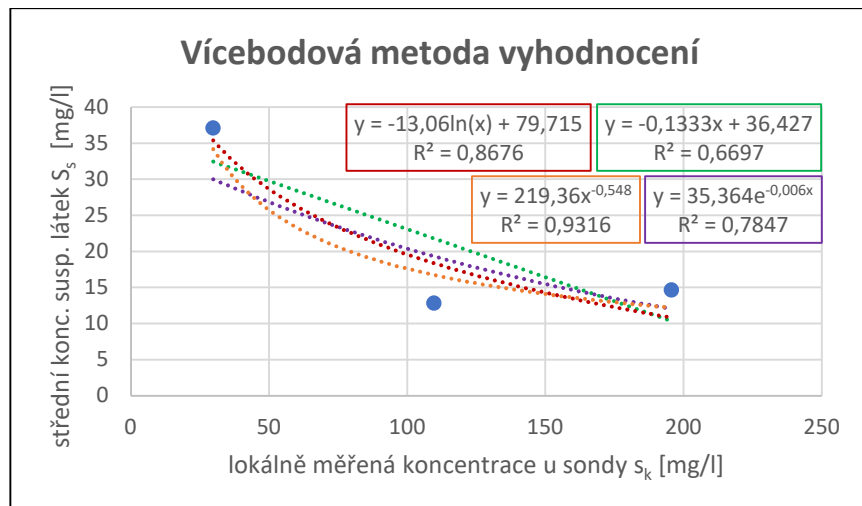
**Obr. 40.** Analýza korelace střední koncentrace suspendovaných látek na lokálně měřené koncentraci u sondy – čtyři měření příčného profilu, vícebodová metoda vyhodnocení



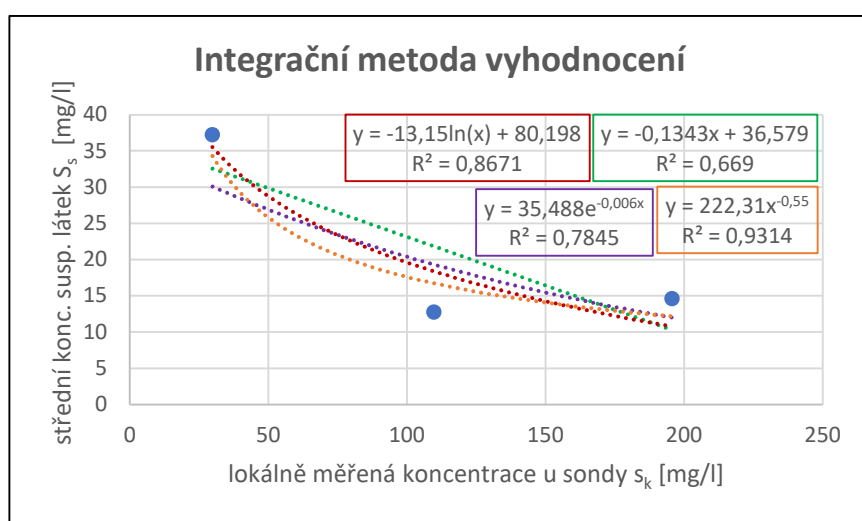
**Obr. 41.** Analýza korelace střední koncentrace suspendovaných látek na lokálně měřené koncentraci u sondy – čtyři měření příčného profilu, integrační metoda vyhodnocení

### 5.5.2.2 Vyhodnocení tří měření příčného profilu regresní analýzou

Pro přepočet skrz regresní analýzu byl v obou případech zvolen exponenciální trend pro svou vlastnost dobře vystihovat závislost obou hodnot a zároveň pro svou schopnost nepřepočítávat data do mínušových hodnot a současně data nenechávat hodnocovat.



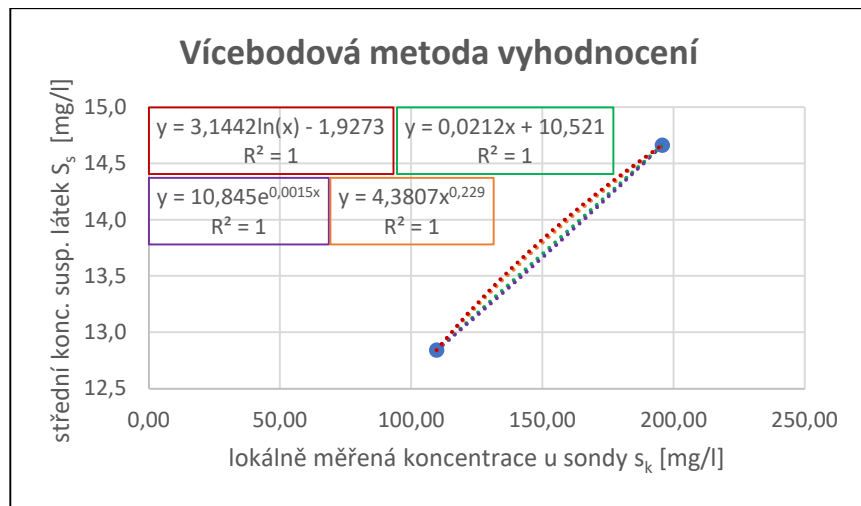
**Obr. 42.** Analýza korelace střední koncentrace suspendovaných látek na lokálně měřené koncentraci u sondy – tři měření příčného profilu, vícebodová metoda vyhodnocení



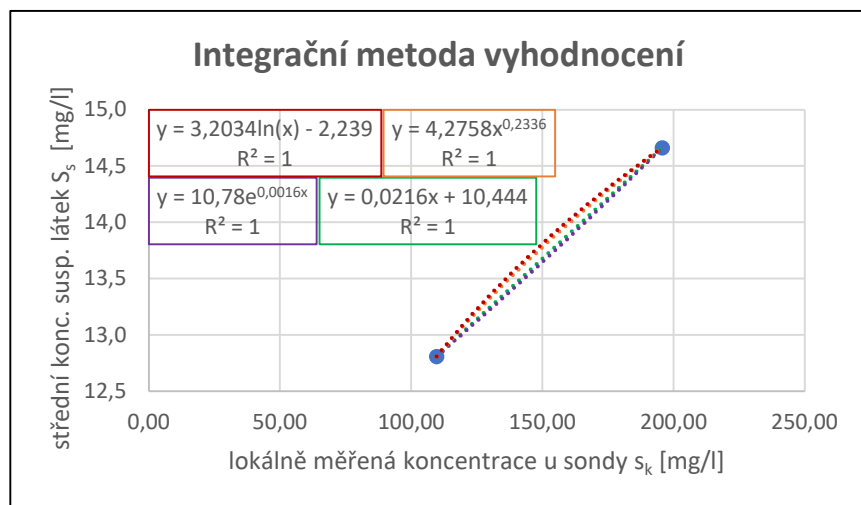
**Obr. 43.** Analýza korelace střední koncentrace suspendovaných látek na lokálně měřené koncentraci u sondy – tři měření příčného profilu, integrační metoda vyhodnocení

### 5.5.2.3 Vyhodnocení dvou měření příčného profilu regresní analýzou

Pro přepočet skrz regresní analýzu byl v obou případech zvolen mocninný trend pro svou schopnost nepřepočítávat data do mínušových hodnot.



*Obr. 44. Analýza korelace střední koncentrace suspendovaných látek na lokálně měřené koncentraci u sondy – dvě měření příčného profilu, vícebodová metoda vyhodnocení*



*Obr. 45. Analýza korelace střední koncentrace suspendovaných látek na lokálně měřené koncentraci u sondy – dvě měření příčného profilu, integrační metoda vyhodnocení*

## 5.6 PŘEPOČET HODNOT NAMĚŘENÝCH SONDOU NA STŘEDNÍ KONCENTRACE SUSPENDOVANÝCH LÁTEK

Po provedení úkonů popsaných v kapitole 5.5 byla zjištěna distribuce koncentrace suspendovaných látek v celém příčném profilu. Nyní je nutné všechny tyto koncentrace přepočítat na požadované hodnoty v mg/l, a to za pomocí postupů z kapitoly 5.3. Jak již bylo zmíněno, pro naše účely byl použit postup druhý, tedy přepočet regresní analýzou, přesněji přepočet lineárním trendem a přepočet polynomickým trendem druhého stupně.

## 5.7 VYHODNOCENÍ VÝSLEDKŮ

Vynásobením časových řad průtoku a střední koncentrace suspendovaných látek, vypočtené předchozími postupy (kapitola 5.6), se vypočítá transport suspendované hmoty  $Q_s$  [g/s], který je následně vhodné převést na kg/s. Integrováním tohoto

transportního hydrogramu podle času lze pro libovolné doby určit množství plavenin  $V_{S,m}$  [t]. Toho v našem případě dosáhneme převodem požadovaných  $Q_s$  [kg/s] na jednotky t/min a následným vynásobením desíti (sonda měří v desetiminutovém intervalu). Vydělením množství plavenin velikostí povodí v místě měření lze určit odnos splavenin v povodí  $V'_{S,m}$  [t/km<sup>2</sup>]. [3]

Výsledky jsou vyhodnoceny pro celé období, tedy od 05.09.2019 do 31.10.2021, a pro jeden celý rok, rok 2020.

Kvůli trojitému postupu v kapitole 5.5 dostáváme i větší množství finálních výsledků, přesněji výsledky pro čtyři, tři a dvě měření příčného profilu a jejich následné vyhodnocení analýzou korelací středních koncentrací suspendovaných látek na lokálně měřených koncentracích u sondy.

## 5.7.1 Vyhodnocení výsledků o čtyřech měřeních příčného profilu

### 5.7.1.1 Přepočet lineárním trendem

**Tab. 9.** Vyhodnocení výsledků pro celé období – čtyři měření příčného profilu, přepočet lineárním trendem

	Celé období – čtyři měření příčného profilu, přepočet lineárním trendem							
	Naměřený hydrogram				Náhradní hydrogram			
	Přepočet poměrem		Přepočet reg. analýzou		Přepočet poměrem		Přepočet reg. analýzou	
	Vícebodová metoda	Integrační metoda	Vícebodová metoda	Integrační metoda	Vícebodová metoda	Integrační metoda	Vícebodová metoda	Integrační metoda
$\Sigma Q_s$ [kg/s]	279 964,9	280 373,8	771 776,3	773 813,5	166 989,0	167 236,6	809 030,3	811 164,8
$\Sigma Q_s$ [t/s]	280,0	280,4	771,8	773,8	167,0	167,2	809,0	811,2
$\Sigma Q_s$ [t/min]	16 797,9	16 822,4	46 306,6	46 428,8	10 019,3	10 034,2	48 541,8	48 669,9
$V_{S,m}$ [t]	167 979,0	168 224,3	463 065,8	464 288,1	100 193,4	100 342,0	485 418,2	486 698,9
$V'_{S,m}$ [t/km <sup>2</sup> ]	56,0	56,1	154,5	154,9	33,4	33,5	161,9	162,3
$\bar{\phi} Q_s$ [t/r]	81 265,9	81 384,6	224 024,9	224 616,2	48 472,2	48 544,1	234 838,7	235 458,3

**Tab. 10.** Vyhodnocení výsledků pro rok 2020 – čtyři měření příčného profilu, přepočet lineárním trendem

	Rok 2020 – čtyři měření příčného profilu, přepočet lineárním trendem							
	Naměřený hydrogram				Náhradní hydrogram			
	Přepočet poměrem		Přepočet reg. analýzou		Přepočet poměrem		Přepočet reg. analýzou	
	Vícebodová metoda	Integrační metoda	Vícebodová metoda	Integrační metoda	Vícebodová metoda	Integrační metoda	Vícebodová metoda	Integrační metoda
$\Sigma Q_s$ [kg/s]	118 964,7	119 139,1	381 808,8	382 816,5	89 850,7	89 983,5	391 267,3	392 299,8
$\Sigma Q_s$ [t/s]	119,0	119,1	381,8	382,8	89,9	90,0	391,3	392,3
$\Sigma Q_s$ [t/min]	7 137,9	7 148,3	22 908,5	22 969,0	5 391,0	5 399,0	23 476,0	23 538,0
$V_{S,m}$ [t]	71 378,8	71 483,4	229 085,3	229 689,9	53 910,4	53 990,1	234 760,4	235 379,9
$V'_{S,m}$ [t/km <sup>2</sup> ]	23,8	23,8	76,4	76,6	18,0	18,0	78,3	78,5

### 5.7.1.2 Přepočet polynomickým trendem druhého stupně

**Tab. 11.** Vyhodnocení výsledků pro celé období – čtyři měření příčného profilu, přepočet polynomickým trendem druhého stupně

	Celé období – čtyři měření příčného profilu, přepočet polynomickým trendem druhého stupně							
	Naměřený hydrogram				Náhradní hydrogram			
	Přepočet poměrem		Přepočet reg. analýzou		Přepočet poměrem		Přepočet reg. analýzou	
	Vícebodová metoda	Integrační metoda	Vícebodová metoda	Integrační metoda	Vícebodová metoda	Integrační metoda	Vícebodová metoda	Integrační metoda
$\Sigma Q_s$ [kg/s]	1 045 458,3	1 048 306,5	2 055 751,7	2 065 938,2	282 812,9	283 529,9	2 206 025,9	2 216 973,9
$\Sigma Q_s$ [t/s]	1 045,5	1 048,3	2 055,8	2 065,9	282,8	283,5	2 206,0	2 217,0
$\Sigma Q_s$ [t/min]	62 727,5	62 898,4	123 345,1	123 956,3	16 968,8	17 011,8	132 361,6	133 018,4
$V_{S,m}$ [t]	627 275,0	628 983,9	1 233 451,0	1 239 562,9	169 687,7	170 117,9	1 323 615,6	1 330 184,3
$V'_{S,m}$ [t/km <sup>2</sup> ]	209,2	209,8	411,4	413,5	56,6	56,7	441,5	443,7
$\varnothing Q_s$ [t/r]	303 467,1	304 293,8	596 726,8	599 683,6	82 092,6	82 300,7	640 347,1	643 525,0

**Tab. 12.** Vyhodnocení výsledků pro rok 2020 – čtyři měření příčného profilu, přepočet polynomickým trendem druhého stupně

	Rok 2020 – čtyři měření příčného profilu, přepočet polynomickým trendem druhého stupně							
	Naměřený hydrogram				Náhradní hydrogram			
	Přepočet poměrem		Přepočet reg. analýzou		Přepočet poměrem		Přepočet reg. analýzou	
	Vícebodová metoda	Integrační metoda	Vícebodová metoda	Integrační metoda	Vícebodová metoda	Integrační metoda	Vícebodová metoda	Integrační metoda
$\Sigma Q_s$ [kg/s]	375 547,5	376 560,3	1 021 562,6	1 026 626,2	158 388,4	158 793,2	1 059 804,0	1 065 061,4
$\Sigma Q_s$ [t/s]	375,5	376,6	1 021,6	1 026,6	158,4	158,8	1 059,8	1 065,1
$\Sigma Q_s$ [t/min]	22 532,8	22 593,6	61 293,8	61 597,6	9 503,3	9 527,6	63 588,2	63 903,7
$V_{S,m}$ [t]	225 328,5	225 936,2	612 937,6	615 975,7	95 033,0	95 275,9	635 882,4	639 036,8
$V'_{S,m}$ [t/km <sup>2</sup> ]	75,2	75,4	204,4	205,5	31,7	31,8	212,1	213,2

### 5.7.2 Vyhodnocení výsledků o třech měřeních příčného profilu

#### 5.7.2.1 Přepočet lineárním trendem

**Tab. 13.** Vyhodnocení výsledků pro celé období – tři měření příčného profilu, přepočet lineárním trendem

	Celé období – tři měření příčného profilu, přepočet lineárním trendem							
	Naměřený hydrogram				Náhradní hydrogram			
	Přepočet poměrem		Přepočet reg. analýzou		Přepočet poměrem		Přepočet reg. analýzou	
	Vícebodová metoda	Integrační metoda	Vícebodová metoda	Integrační metoda	Vícebodová metoda	Integrační metoda	Vícebodová metoda	Integrační metoda
$\Sigma Q_s$ [kg/s]	37 900,0	38 059,7	213 898,0	214 674,0	20 949,8	21 043,2	219 762,5	220 559,1
$\Sigma Q_s$ [t/s]	37,9	38,1	213,9	214,7	20,9	21,0	219,8	220,6
$\Sigma Q_s$ [t/min]	2 274,0	2 283,6	12 833,9	12 880,4	1 257,0	1 262,6	13 185,8	13 233,5
$V_{S,m}$ [t]	22 740,0	22 835,8	128 338,8	128 804,4	12 569,9	12 625,9	131 857,5	132 335,4
$V'_{S,m}$ [t/km <sup>2</sup> ]	7,6	7,6	42,8	43,0	4,2	4,2	44,0	44,1
$\varnothing Q_s$ [t/r]	11 001,3	11 047,7	62 088,6	62 313,8	6 081,1	6 108,2	63 790,9	64 022,1

**Tab. 14.** Vyhodnocení výsledků pro rok 2020 – tři měření příčného profilu, přepočet lineárním trendem

	Rok 2020 – tři měření příčného profilu, přepočet lineárním trendem							
	Naměřený hydrogram				Náhradní hydrogram			
	Přepočet poměrem		Přepočet reg. analýzou		Přepočet poměrem		Přepočet reg. analýzou	
	Vícebodová metoda	Integrační metoda	Vícebodová metoda	Integrační metoda	Vícebodová metoda	Integrační metoda	Vícebodová metoda	Integrační metoda
$\Sigma Q_s$ [kg/s]	15 840,3	15 908,1	105 304,2	105 686,1	11 387,8	11 438,0	106 791,4	107 178,6
$\Sigma Q_s$ [t/s]	15,8	15,9	105,3	105,7	11,4	11,4	106,8	107,2
$\Sigma Q_s$ [t/min]	950,4	954,5	6 318,2	6 341,2	683,3	686,3	6 407,5	6 430,7
$V_{S,m}$ [t]	9 504,2	9 544,8	63 182,5	63 411,6	6 832,7	6 862,8	64 074,9	64 307,1
$V'_{S,m}$ [t/km <sup>2</sup> ]	3,2	3,2	21,1	21,2	2,3	2,3	21,4	21,5

### 5.7.2.2 Přepočet polynomickým trendem druhého stupně

**Tab. 15.** Vyhodnocení výsledků pro celé období – tři měření příčného profilu, přepočet polynomickým trendem druhého stupně

	Celé období – tři měření příčného profilu, přepočet polynomickým trendem druhého stupně							
	Naměřený hydrogram				Náhradní hydrogram			
	Přepočet poměrem		Přepočet reg. analýzou		Přepočet poměrem		Přepočet reg. analýzou	
	Vícebodová metoda	Integrační metoda	Vícebodová metoda	Integrační metoda	Vícebodová metoda	Integrační metoda	Vícebodová metoda	Integrační metoda
$\Sigma Q_s$ [kg/s]	43 266,0	43 477,3	211 640,0	212 864,0	21 054,9	21 120,8	219 736,8	221 012,3
$\Sigma Q_s$ [t/s]	43,3	43,5	211,6	212,9	21,1	21,1	219,7	221,0
$\Sigma Q_s$ [t/min]	2 596,0	2 608,6	12 698,4	12 771,8	1 263,3	1 267,2	13 184,2	13 260,7
$V_{S,m}$ [t]	25 959,6	26 086,4	126 984,0	127 718,4	12 632,9	12 672,5	131 842,1	132 607,4
$V'_{S,m}$ [t/km <sup>2</sup> ]	8,7	8,7	42,4	42,6	4,2	4,2	44,0	44,2
$\phi Q_s$ [t/r]	12 558,9	12 620,2	61 433,1	61 788,4	6 111,6	6 130,8	63 783,4	64 153,6

**Tab. 16.** Vyhodnocení výsledků pro rok 2020 – tři měření příčného profilu, přepočet polynomickým trendem druhého stupně

	Rok 2020 – tři měření příčného profilu, přepočet polynomickým trendem druhého stupně							
	Naměřený hydrogram				Náhradní hydrogram			
	Přepočet poměrem		Přepočet reg. analýzou		Přepočet poměrem		Přepočet reg. analýzou	
	Vícebodová metoda	Integrační metoda	Vícebodová metoda	Integrační metoda	Vícebodová metoda	Integrační metoda	Vícebodová metoda	Integrační metoda
$\Sigma Q_s$ [kg/s]	17 274,5	17 352,1	104 451,8	105 056,5	11 054,1	11 090,7	106 506,2	107 123,9
$\Sigma Q_s$ [t/s]	17,3	17,4	104,5	105,1	11,1	11,1	106,5	107,1
$\Sigma Q_s$ [t/min]	1 036,5	1 041,1	6 267,1	6 303,4	663,2	665,4	6 390,4	6 427,4
$V_{S,m}$ [t]	10 364,7	10 411,3	62 671,1	63 033,9	6 632,5	6 654,4	63 903,7	64 274,4
$V'_{S,m}$ [t/km <sup>2</sup> ]	3,5	3,5	20,9	21,0	2,2	2,2	21,3	21,4

## 5.7.3 Vyhodnocení výsledků o dvou měřeních příčného profilu

### 5.7.3.1 Přepočet lineárním trendem

**Tab. 17.** Vyhodnocení výsledků pro celé období – dvě měření příčného profilu, přepočet lineárním trendem

	Celé období – dvě měření příčného profilu, přepočet lineárním trendem							
	Naměřený hydrogram				Náhradní hydrogram			
	Přepočet poměrem		Přepočet reg. analýzou		Přepočet poměrem		Přepočet reg. analýzou	
	Vícebodová metoda	Integrační metoda	Vícebodová metoda	Integrační metoda	Vícebodová metoda	Integrační metoda	Vícebodová metoda	Integrační metoda
$\Sigma Q_s$ [kg/s]	4 526,8	4 515,9	39 335,8	38 686,0	1 903,7	1 898,1	34 467,0	33 796,0
$\Sigma Q_s$ [t/s]	4,5	4,5	39,3	38,7	1,9	1,9	34,5	33,8
$\Sigma Q_s$ [t/min]	271,6	271,0	2 360,2	2 321,2	114,2	113,9	2 068,0	2 027,8
$V_{S,m}$ [t]	2 716,1	2 709,6	23 601,5	23 211,6	1 142,2	1 138,9	20 680,2	20 277,6
$V'_{S,m}$ [t/km <sup>2</sup> ]	0,9	0,9	7,9	7,7	0,4	0,4	6,9	6,8
$\varnothing Q_s$ [t/r]	1 314,0	1 310,8	11 418,1	11 229,5	552,6	551,0	10 004,8	9 810,0

**Tab. 18.** Vyhodnocení výsledků pro rok 2020 – dvě měření příčného profilu, přepočet lineárním trendem

	Rok 2020 – dvě měření příčného profilu, přepočet lineárním trendem							
	Naměřený hydrogram				Náhradní hydrogram			
	Přepočet poměrem		Přepočet reg. analýzou		Přepočet poměrem		Přepočet reg. analýzou	
	Vícebodová metoda	Integrační metoda	Vícebodová metoda	Integrační metoda	Vícebodová metoda	Integrační metoda	Vícebodová metoda	Integrační metoda
$\Sigma Q_s$ [kg/s]	1 800,8	1 796,2	18 570,0	18 249,2	1 131,0	1 127,7	17 445,5	17 118,3
$\Sigma Q_s$ [t/s]	1,8	1,8	18,6	18,2	1,1	1,1	17,4	17,1
$\Sigma Q_s$ [t/min]	108,0	107,8	1 114,2	1 095,0	67,9	67,7	1 046,7	1 027,1
$V_{S,m}$ [t]	1 080,5	1 077,7	11 142,0	10 949,5	678,6	676,6	10 467,3	10 271,0
$V'_{S,m}$ [t/km <sup>2</sup> ]	0,4	0,4	3,7	3,7	0,2	0,2	3,5	3,4

### 5.7.3.2 Přepočet polynomickým trendem druhého stupně

**Tab. 19.** Vyhodnocení výsledků pro celé období – dvě měření příčného profilu, přepočet polynomickým trendem druhého stupně

	Celé období – dvě měření příčného profilu, přepočet polynomickým trendem druhého stupně							
	Naměřený hydrogram				Náhradní hydrogram			
	Přepočet poměrem		Přepočet reg. analýzou		Přepočet poměrem		Přepočet reg. analýzou	
	Vícebodová metoda	Integrační metoda	Vícebodová metoda	Integrační metoda	Vícebodová metoda	Integrační metoda	Vícebodová metoda	Integrační metoda
$\Sigma Q_s$ [kg/s]	11 766,6	11 760,0	27 683,7	27 343,2	10 141,5	10 138,6	25 088,7	24 752,4
$\Sigma Q_s$ [t/s]	11,8	11,8	27,7	27,3	10,1	10,1	25,1	24,8
$\Sigma Q_s$ [t/min]	706,0	705,6	1 661,0	1 640,6	608,5	608,3	1 505,3	1 485,1
$V_{S,m}$ [t]	7 060,0	7 056,0	16 610,2	16 405,9	6 084,9	6 083,1	15 053,2	14 851,4
$V'_{S,m}$ [t/km <sup>2</sup> ]	2,4	2,4	5,5	5,5	2,0	2,0	5,0	5,0
$\varnothing Q_s$ [t/r]	3 415,5	3 413,6	8 035,8	7 937,0	2 943,8	2 942,9	7 282,6	7 184,9

**Tab. 20.** Vyhodnocení výsledků pro rok 2020 – dvě měření příčného profilu, přepočet polynomickým trendem druhého stupně

	Rok 2020 – dvě měření příčného profilu, přepočet polynomickým trendem druhého stupně							
	Naměřený hydrogram				Náhradní hydrogram			
	Přepočet poměrem		Přepočet reg. analýzou		Přepočet poměrem		Přepočet reg. analýzou	
	Vícebodová metoda	Integrační metoda	Vícebodová metoda	Integrační metoda	Vícebodová metoda	Integrační metoda	Vícebodová metoda	Integrační metoda
$\Sigma Q_s$ [kg/s]	5 475,9	5 473,3	13 169,1	13 002,9	5 037,1	5 035,5	12 558,1	12 392,1
$\Sigma Q_s$ [t/s]	5,5	5,5	13,2	13,0	5,0	5,0	12,6	12,4
$\Sigma Q_s$ [t/min]	328,6	328,4	790,1	780,2	302,2	302,1	753,5	743,5
$V_{S,m}$ [t]	3 285,6	3 284,0	7 901,5	7 801,7	3 022,3	3 021,3	7 534,9	7 435,2
$V'_{S,m}$ [t/km <sup>2</sup> ]	1,1	1,1	2,6	2,6	1,0	1,0	2,5	2,5

## 5.8 STATISTICKÉ CHARAKTERISTIKY

Následující vyhodnocení statistických charakteristik průměrného ročního odnosu plavenin (za celé období) je pouze orientační, neboť vlivem obrovských velikostních rozdílů jednotlivých výsledků není jejich vypovídající hodnota uspokojivá. Například koeficient variace  $C_v$  [-] v případě čtyř měření příčného profilu je téměř o velikosti 1,0.

### 5.8.1 Statistické charakteristiky transportu suspendované hmoty dosažené čtyřmi měřeními příčného profilu

**Tab. 21.** Statistické charakteristiky výsledků v celém období – čtyři měření příčného profilu

Statistické charakteristiky pro 4 měření příčného profilu			
Střední hodnota	$\bar{Q}_s =$	276 940,10	[t/r]
Disperze	$D =$	67 260 026 437,83	$[(t/r)^2]$
Směrodatná odchylka	$\sigma =$	259 345,38	[t/r]
Koeficient variace	$C_v =$	0,94	[-]
Koeficient asymetrie	$C_s =$	10,97	[-]

### 5.8.2 Statistické charakteristiky transportu suspendované hmoty dosažené třemi měřeními příčného profilu

**Tab. 22.** Statistické charakteristiky výsledků v celém období – tři měření příčného profilu

Statistické charakteristiky pro 3 měření příčného profilu			
Střední hodnota	$\bar{Q}_s =$	35 939,61	[t/r]
Disperze	$D =$	781 669 878,93	$[(t/r)^2]$
Směrodatná odchylka	$\sigma =$	27 958,36	[t/r]
Koeficient variace	$C_v =$	0,78	[-]
Koeficient asymetrie	$C_s =$	0,00	[-]

### **5.8.3 Statistické charakteristiky transportu suspendované hmoty dosažené dvěma měřeními příčného profilu**

**Tab. 23.** Statistické charakteristiky výsledků v celém období – dvě měření příčného profilu

<b>Statistické charakteristiky pro 2 měření příčného profilu</b>			
Střední hodnota	$\bar{Q}_s =$	5 584,18	[t/r]
Disperze	D =	15 425 330,31	$[(t/r)^2]$
Směrodatná odchylka	$\sigma =$	3 927,51	[t/r]
Koeficient variace	$C_v =$	0,70	[-]
Koeficient asymetrie	$C_s =$	-0,02	[-]

## 6 SHRNUTÍ VÝSLEDKŮ

Dosáhli jsme velkého množství výsledků, proto je nyní nutné data profiltrovat pro snadnější orientaci. Z tohoto důvodu nejsou do finálního shrnutí zahrnuty výsledky vyhodnocení integrační metodou, neboť se téměř shodovaly s výsledky vyhodnocenými vícebodovou metodou. Navíc je užití výsledků vyhodnocených vícebodovou metodou v našem případě i vhodnější, protože distribuce koncentrace suspendovaných látek v příčném profilu byla zjišťována právě vícebodovou metodou v kombinaci s měřením ADCP.

Data byla v závěrečné souhrnné tabulce rozdělena na tři barevně rozlišené oddíly, z nichž každý zaznamenává data přepočítaná dle různého počtu měření příčného profilu. Oranžová představuje čtyři měření příčného profilu, modrá představuje tři měření příčného profilu a zelená představuje dvě měření příčného profilu. Jak již bylo zmíněno v předešlých kapitolách, důvodem takového členění výsledků je neuspokojivá korelace koncentrace suspendovaných látek v příčném profilu  $s_m$  [mg/l] a lokálně měřené koncentrace u sondy  $s_k$  [mg/l]. Dále je tabulka rozdělena dle přepočtu dat naměřených sondou  $s_s$  [NTU] na koncentraci suspendovaných látek  $s_k$  [mg/l], kdy barvy tmavšího odstínu představují přepočet lineárním trendem a barvy světlejšího odstínu představují přepočet polynomickým trendem druhého stupně.

**Tab. 24. Shrnutí výsledků pro celé období**

Celé období	4 měření příčného profilu				3 měření příčného profilu				2 měření příčného profilu				
	Naměřený hydrogram		Náhradní hydrogram		Naměřený hydrogram		Náhradní hydrogram		Naměřený hydrogram		Náhradní hydrogram		
	Přeypočet	Přeypočet reg. analýzou	Přeypočet	Přeypočet reg. analýzou	Přeypočet	Přeypočet reg. poměrem	Přeypočet	Přeypočet reg. poměrem	Přeypočet	Přeypočet reg. poměrem	Přeypočet	Přeypočet reg. poměrem	
Přeypočet lineárním trendem	V <sub>s,m</sub> [t]	167 979	463 066	100 193	485 418	22 740	128 339	12 570	131 858	2 716	23 602	1 142	20 680
Přeypočet polynomickým trendem 2. stupně	ø Q <sub>s</sub> [t/r]	81 266	224 025	48 472	234 839	11 001	62 089	6 081	63 791	1 314	11 418	553	10 005
	V <sub>s,m</sub> [t]	627 275	1 233 451	169 688	1 323 616	25 960	126 984	12 633	131 842	7 060	16 610	6 085	15 053
	ø Q <sub>s</sub> [t/r]	303 467	596 727	82 093	640 347	12 559	61 433	6 112	63 783	3 416	8 036	2 944	7 283

**Tab. 25. Shrnutí výsledků pro rok 2020**

Rok 2020	4 měření příčného profilu				3 měření příčného profilu				2 měření příčného profilu				
	Naměřený hydrogram		Náhradní hydrogram		Naměřený hydrogram		Náhradní hydrogram		Naměřený hydrogram		Náhradní hydrogram		
	Přeypočet	Přeypočet reg. analýzou	Přeypočet	Přeypočet reg. analýzou	Přeypočet	Přeypočet reg. poměrem	Přeypočet	Přeypočet reg. poměrem	Přeypočet	Přeypočet reg. poměrem	Přeypočet	Přeypočet reg. poměrem	
Přeypočet lin. trendem	V <sub>s,m</sub> [t]	71 379	229 085	53 910	234 760	9 504	63 182	6 833	64 075	10 365	62 671	6 632	63 904
Přeypočet pol. trendem 2. st.	V <sub>s,m</sub> [t]	225 328	612 938	95 033	635 882	1 080	11 142	679	10 467	3 286	7 901	3 022	7 535

## 6.1 SROVNÁNÍ VÝSLEDKŮ S ČESKÝM HYDROMETEOROLOGICKÝM ÚSTAVEM

V Přibicích neprovádí ČHMÚ pravidelný monitoring plavenin, výsledky proto musíme srovnat s jiným hlásným profilem, aby bylo zaručeno alespoň částečné ověření výsledků, zda hodnoty nejsou abnormálně nadhodnoceny nebo podhodnoceny. Nejbližším významným hlásným profilem na řece Jihlavě, kde probíhá nebo probíhalo měření a zpracování výsledků je profil Ivančice. Ty se nachází jen o trochu blíže k pramenu řeky, přesněji na staničení 32,95 km, což znamená, že jejich plocha povodí je téměř  $2\ 700\ km^2$  [14]. Přibice se nacházejí na staničení 7,46 km a jejich plocha povodí je  $2\ 998\ km^2$  [11]. Při porovnání velikostí povodí můžeme v Přibicích očekávat mírně vyšší množství plavenin  $V_{S,m}$  [t] (přibližně o 11 %).

Dle hydrologické ročenky ČHMÚ roku 2020 je dlouhodobý (období 2000-2010) průměrný roční odtok plavenin v Ivančicích roven 21 375 t/r. V roce 2019 zde byl naměřen roční odtok plavenin pouhých 5 839 t/r, rok 2019 byl tedy z tohoto hlediska podprůměrný [16]. V roce 2020 zde byl naměřen odtok plavenin o velikosti 20 671 t/r, tento rok byl tudíž spíše průměrný [4]. Pro rok 2021 bohužel nebyla v době tvorby této práce ještě vydána ročenka pro daný rok.

Těmto hodnotám se pro rok 2020 nejvíc podobají naše výsledky získané třemi měřeními příčného profilu. Ty se pohybují v rozsahu od 9 504 t/r (6 833 t/r pro syntetický hydrogram) do 63 183 t/r (64 075 t/r pro syntetický hydrogram).

Při porovnávání výsledků však musíme, kromě faktu, že srovnávací data bereme z jiné lokality, brát v potaz:

- odlišný způsob odběru plavenin ČHMÚ (odběr jednou denně pomocí sampleru),
- skutečnost, že vyhlazování a doplňování hydrogramu sondy (kapitola 5.2) je velmi individuální zásah, který vytvoří vždy trochu rozdílné výsledky,
- naši ne příliš uspokojivou korelaci mezi střední koncentrací suspendovaných látek v příčném profilu  $s_m$  [mg/l] a lokálně měřenou koncentrací suspendovaných látek u sondy  $s_k$  [mg/l].

## 7 ZÁVĚR

Tato bakalářská práce uvedla čtenáře do situace problematiky monitoringu plavenin a vysvětlila ty nedůležitější a nejzákladnější prvky a fakta ze současného stavu poznání tohoto odvětví. Dále po vzoru rakouské metodické příručky Leitfaden zur Erfassung des Schwebstofftransportes (Habersack et al., 2017) líčí metodický postup měření plavenin a následné vyhodnocení v řešené oblasti Přibice, kterou i okrajově popisuje. Nechybí ani srovnání výsledků s daty naměřenými Českým hydrometeorologickým ústavem, jenž se problematikou měření plavenin zabývá již od minulého století.

Práce zpracovává bilanci plavenin v řece Jihlavě ve vodoměrném profilu Přibice, kde probíhá kontinuální měření již od roku 2019. Konkrétně řeší období od 05.09.2019 do 31.10.202 s vynecháním úseku v období od 23.04.2020 v 11:00 do 26.05.2020 v 9:50. Data jsou vyhodnoceny pro celé období (754,47 dnů) a pro jeden celý rok, rok 2020. Hlavními výsledky jsou celkový odnos plavenin  $V_{S,m}$  [t] a průměrný roční odnos plavenin  $\bar{Q}_s$  [t/r].

Dostali jsme poměrně velké množství finální výsledků, které jsou rozděleny do tří segmentů podle toho, kolik měření příčného profilu bylo pro jejich přepočet použito. Důvodem tohoto trojitého množství výsledků je ne příliš uspokojivá korelace mezi střední koncentrací suspendovaných látek v příčném profilu  $s_m$  [mg/l] a lokálně měřenou koncentrací suspendovaných látek u sondy  $s_k$  [mg/l]. Celkově byl příčný profil analyzován čtyřikrát, v každém ze segmentů bylo odebráno to nejméně korelující měření.

Výsledky získané čtyřmi měřeními příčného profilu jsou nejvyšší, naopak nejmenší jsou výsledky o dvou měřeních příčného profilu. Při pohledu na získané hodnoty z roku 2020 zjistíme, že k výsledkům od ČHMÚ se nejvíce přibližují data přepočítané pomocí tří měření příčného profilu.

Co se týče průměrného odnosu z povodí  $V'_{S,m}$  [t/km<sup>2</sup>] pro celé období, který by ideálně neměl překročit 4,0 t/ha/r, je povodí ve všech případech vyhovující, neboť nejvyšší dosažený roční odnos je pouhých 1,0 t/ha/r, a to při čtyřech měřeních příčného profilu. Limit pro obsah nerozpuštěných látek v povrchových vodách (NEK dle NV č. 405/2015 Sb.) je 20 mg/l. Tento limit byl naopak značně překročen u výsledků o čtyřech měřeních příčného profilu a částečně překročen u výsledků o třech a dvou měřeních příčného profilu.

Závěrem lze konstatovat, že vodoměrný profil Přibice nutně potřebuje více měření příčného profilu, které přesněji určí závislost střední koncentrace suspendovaných látek v příčném profilu  $s_m$  [mg/l] na lokálně měřené koncentraci suspendovaných látek u sondy  $s_k$  [mg/l], neboť dosavadní korelace nejsou nijak zvlášť uspokojující, což má za následek značnou roztroušenost výsledků.

## 8 SEZNAM POUŽITÝCH ZDROJŮ

- [1] STARÝ, Miloš. *Hydrologie Modul 01*. Brno: VUT FAST v Brně, 2005.
- [2] ZACHOVAL, Zbyněk. *Splaveniny ve vodních tocích Modul 01*. Brno: VUT FAST v Brně, 2016.
- [3] HABERSACK H., HAIMANN M., KERSCHBAUMSTEINE W., LALK P. *Leitfaden zur Erfassung des Schwebstofftransports*, Wien, 2017.
- [4] *Hydrologická ročenka České republiky 2020: Hydrological yearbook of the Czech Republic 2020*. Praha: Český hydrometeorologický ústav, 2021, 276 s. ISBN 978-80-7653-030-0. Dostupné také z: [https://www.chmi.cz/files/portal/docs/hydro/hydrologicke\\_rocenky/HR\\_2020.pdf](https://www.chmi.cz/files/portal/docs/hydro/hydrologicke_rocenky/HR_2020.pdf)
- [5] PASEKA, Stanislav a Daniel MARTON. *Zpráva z odběru vzorků ze zákaloměrných stanic za monitorovací období č. 9: Report – shrnutí výsledků za MO9*. Brno: VUT FAST v Brně, 2021.
- [6] STARÝ, Miloš. *Hydrologie Modul 02*. Brno: VUT FAST v Brně, 2005.
- [7] HACH COMPANY. *Popis produktu SOLITAX sc* [online]. [cit. 2022-05-23]. Dostupné z: <https://cz.hach.com/ponorna-sonda-solitax-t-line-sc-pro-mereni-zakalu-0-001-4000-nbsp-ntu-a-nerozpustenych-pevnych-latek-0-001-50-nbsp-g-l-se-steracem-nerezova-ocel/product?id=24929010631>
- [8] HALÍŘOVÁ, Jarmila a Pavel STIERAND. *Výsledky pozorování režimu plavenin v povodí Labe. (V Extrémě oběhu vody v krajině: sborník abstraktů a CD s příspěvky z mezinárodní konference: Mikulov 8.-9. dubna 2014)*. Praha: Nakladatelství Českého hydrometeorologického ústavu, 2014. Dostupné také z: <http://www.cbks.cz/sbornikMikulov14/Halirova.pdf>
- [9] FIEDLER COMPANY. *Popis produktu S461 Ponsel* [online]. [cit. 2022-05-23]. Dostupné z: <https://www.fiedler.company/cs/produkty/snimace-kvalitatparametru-vody/mereni-zakalu>
- [10] PASEKA, Stanislav a Daniel MARTON. *Zpráva z odběru vzorků ze zákaloměrných stanic za monitorovací období č. 10: Report – shrnutí výsledků za MO10*. Brno: VUT FAST v Brně, 2022.
- [11] Povodňový plán obce Přibice. *Elektronický digitální povodňový portál* [online]. [cit. 2022-05-23]. Dostupné z: <https://www.edpp.cz/povodnovy-plan/pribice/>
- [12] SEZNAM.CZ. *Mapy.cz* [online]. [cit. 2022-05-23]. Dostupné z: <https://mapy.cz>
- [13] QUITT, Evžen. *Klimatické oblasti Československa: Climatic regions of Czechoslovakia*. Brno: Geografický ústav ČSAV, 1971. Studia geographica.
- [14] ČESKÝ HYDROMETEOROLOGICKÝ ÚSTAV. *Evidenční list hlásného profilu č.397* [online]. [cit. 2022-05-23]. Dostupné z: <https://hydro.chmi.cz/hpps/evlist.php?seq=307003>
- [15] BARANYA, Sándor a János JÓZSA. Estimation of Suspended Sediment Concentrations with Adcp in Danube River. *Journal of Hydrology and*

*Hydromechanics* [online]. 2013, **61**(3), 232-240 [cit. 2022-05-23]. ISSN 0042-790X. Dostupné z: doi:10.2478/johh-2013-0030

- [16] *Hydrologická ročenka České republiky 2019: Hydrological yearbook of the Czech Republic 2019*. Praha: Český hydrometeorologický ústav, 2020, 269 s. ISBN 978-80-87577-99-8. Dostupné také z: [https://www.chmi.cz/files/portal/docs/hydro/hydrologicke\\_rocenky/HR\\_2019.pdf](https://www.chmi.cz/files/portal/docs/hydro/hydrologicke_rocenky/HR_2019.pdf)

## SEZNAM TABULEK

<b>Tab. 1.</b> Přehled nejběžnějších technologií na měření suspendovaných látek [3] .....	8
<b>Tab. 2.</b> Požadavky na optické sondy [3] .....	10
<b>Tab. 3.</b> Přehled strategie monitoringu plavenin [3].....	12
<b>Tab. 4.</b> Parametry užité optické sondy [9] .....	20
<b>Tab. 5.</b> Nejdůležitější informace z evidenčního listu hlásného profilu Ivančice [14]....	29
<b>Tab. 6.</b> Vyhodnocení koeficientu $k_p$ čtyřmi měřeními příčného profilu .....	40
<b>Tab. 7.</b> Vyhodnocení koeficientu $k_p$ třemi měřeními příčného profilu .....	40
<b>Tab. 8.</b> Vyhodnocení koeficientu $k_p$ dvěma měřeními příčného profilu.....	40
<b>Tab. 9.</b> Vyhodnocení výsledků pro celé období – čtyři měření příčného profilu, přepočet lineárním trendem .....	44
<b>Tab. 10.</b> Vyhodnocení výsledků pro rok 2020 – čtyři měření příčného profilu, přepočet lineárním trendem .....	44
<b>Tab. 11.</b> Vyhodnocení výsledků pro celé období – čtyři měření příčného profilu, přepočet polynomickým trendem druhého stupně.....	45
<b>Tab. 12.</b> Vyhodnocení výsledků pro rok 2020 – čtyři měření příčného profilu, přepočet polynomickým trendem druhého stupně.....	45
<b>Tab. 13.</b> Vyhodnocení výsledků pro celé období – tři měření příčného profilu, přepočet lineárním trendem .....	45
<b>Tab. 14.</b> Vyhodnocení výsledků pro rok 2020 – tři měření příčného profilu, přepočet lineárním trendem .....	46
<b>Tab. 15.</b> Vyhodnocení výsledků pro celé období – tři měření příčného profilu, přepočet polynomickým trendem druhého stupně.....	46
<b>Tab. 16.</b> Vyhodnocení výsledků pro rok 2020 – tři měření příčného profilu, přepočet polynomickým trendem druhého stupně.....	46
<b>Tab. 17.</b> Vyhodnocení výsledků pro celé období – dvě měření příčného profilu, přepočet lineárním trendem .....	47
<b>Tab. 18.</b> Vyhodnocení výsledků pro rok 2020 – dvě měření příčného profilu, přepočet lineárním trendem .....	47
<b>Tab. 19.</b> Vyhodnocení výsledků pro celé období – dvě měření příčného profilu, přepočet polynomickým trendem druhého stupně.....	47
<b>Tab. 20.</b> Vyhodnocení výsledků pro rok 2020 – dvě měření příčného profilu, přepočet polynomickým trendem druhého stupně.....	48
<b>Tab. 21.</b> Statistické charakteristiky výsledků v celém období – čtyři měření příčného profilu.....	48
<b>Tab. 22.</b> Statistické charakteristiky výsledků v celém období – tři měření příčného profilu.....	48

<b>Tab. 23.</b> Statistické charakteristiky výsledků v celém období – dvě měření příčného profilu.....	49
<b>Tab. 24.</b> Shrnutí výsledků pro celé období .....	50
<b>Tab. 25.</b> Shrnutí výsledků pro rok 2020.....	50

## **SEZNAM OBRÁZKŮ**

<b>Obr. 1.</b> Roční odtoky plavenin v roce 2020 naměřené ČHMÚ [4].....	4
<b>Obr. 2.</b> Dělení částic v korytě toku [2].....	5
<b>Obr. 3.</b> Příklad zrnitostní křivky splavenin (červeně – hmotnostní zastoupení frakcí, modře – kumulativní hmotnostní zastoupení frakcí, křížky – hrance frakcí, kružnice – charakteristické velikosti částic) [2] .....	6
<b>Obr. 4.</b> Výskyt látek, které překročily limity norem enviromentální kvality v plaveninách v roce 2020 [4].....	7
<b>Obr. 5.</b> Možné vzorkovací zařízení: vzorkovač na tyči (vlevo) a sběrač zavěšený na laně (vpravo) [5] .....	9
<b>Obr. 6.</b> Řez batometrem [6] .....	9
<b>Obr. 7.</b> Optická zákalová sonda Solitax ts-line sc od výrobce Hach [7] .....	11
<b>Obr. 8.</b> Měřící místo v Přibicích .....	12
<b>Obr. 9.</b> Uzamčená a krytem chráněná sonda v Přibicích .....	13
<b>Obr. 10.</b> Napájení elektrinou ze solárního panelu (vlevo), limnigrafická stanice (uprostřed), skříňka se zapisovačem dat a akumulátorem (vpravo) [3].....	14
<b>Obr. 11.</b> Měření distribuce koncentrace suspendovaných látek v příčném profilu broděním (vlevo), ze člunu (uprostřed) a z mostu (vpravo) [3], [5] .....	14
<b>Obr. 12.</b> ADCP zařízení od firmy SONTEC.....	15
<b>Obr. 13.</b> Schéma vícebodové metody v pěti vertikálách a čtyřech hloubkových úrovních, kde $t_w$ představuje hloubku vody na vertikále [3] .....	16
<b>Obr. 14.</b> Schéma integrovaného vzorkování metodou stejných šířek (EWI) [3].....	17
<b>Obr. 15.</b> Schéma integrovaného vzorkování metodou stejných průtoků (EDI) [3] .....	17
<b>Obr. 16.</b> Vakuové filtrační zařízení (vlevo) a membránové filtry (vpravo) [3].....	18
<b>Obr. 17.</b> Sampler (vlevo) a odebrané vzorky (vpravo) v Židlochovicích.....	19
<b>Obr. 18.</b> V minulosti využívaný systém odběru vzorků suspendovaných látek v Židlochovicích .....	19
<b>Obr. 19.</b> Optický snímač zákalu užity v Přibicích – S461 Ponsel [9].....	20
<b>Obr. 20.</b> Umístění sondy v Přibicích (vlevo), znečištění sondy v Přibicích (vpravo) ...	21
<b>Obr. 21.</b> Ukázka skokového poklesu měření NTU po vyčištění sondy (Přibice dne 05.11.2021) [10] .....	21
<b>Obr. 22.</b> Odběr kalibračních vzorků pomocí vzorkovací tyče (vlevo), nádoby s odebranými vzorky (vpravo) [10] .....	22
<b>Obr. 23.</b> Natáhnutí vodícího lana (vlevo) a přivázání ADCP zařízení (vpravo).....	24
<b>Obr. 24.</b> Natažení měrného pásmo (vlevo) a provádění odběrů vícebodovou metodou (vpravo).....	24

<b>Obr. 25.</b> Odběr kalibračních vzorků (vlevo) a následné uložení odebraných vzorků do chladícího zařízení (vpravo) .....	25
<b>Obr. 26.</b> Měření nerozpuštěných látok v mg/l pomocí membránové vývěvy přes filtrační soupravu v laboratoři na Ústavu vodního hospodářství krajiny (vlevo) a nerozpuštěné látky z Přibic (odběr dne 05.11.2021) zachycené na membránovém filtru (vpravo) [10] .....	26
<b>Obr. 27.</b> Hrubá lokalizace Přibic (vlevo) a přesné umístění limnigrafické stanice a místa měření (vpravo) [12].....	27
<b>Obr. 28.</b> Povodí řeky Jihlavy s vyznačením zájmové lokality [12] .....	27
<b>Obr. 29.</b> Klimatické oblasti dle Quittovy klasifikace (z roku 1971) s vyznačením zájmové lokality [13] .....	28
<b>Obr. 30.</b> Koryto řeky Jihlavy v Přibicích ze dne 22.04.2022.....	29
<b>Obr. 31.</b> Ukázka vyhlazení a doplnění hodnot velmi poškozené části hydrogramu sondy v Přibicích, kde $s_s$ [NTU] je záznam sondy a $Q$ [ $m^3/s$ ] je průtok .....	31
<b>Obr. 32.</b> Zjištění korelace průtoku $Q$ [ $m^3/s$ ] a hodnot naměřených sondou $s_s$ [NTU] pro umělé vytvoření náhradního hydrogramu.....	31
<b>Obr. 33.</b> Hydrogram obsahující křivku skutečně naměřeného zákalu a synteticky vytvořenou křivku zákalu .....	31
<b>Obr. 34.</b> Závislost koncentrace suspendovaných látok u sondy $s_k$ [mg/l] na záznamu ze sondy $s_s$ [NTU] .....	34
<b>Obr. 35.</b> Grafické znázornění postupu vyhodnocení vícebodovou metodou [3] .....	35
<b>Obr. 36.</b> Ukázka listu s vyhodnocením vícebodového odběru .....	36
<b>Obr. 37.</b> Ukázka výsledku rychlostního bodového pole jednoho transektu z přístroje ADCP – Přibice 15.09.2021 [10].....	37
<b>Obr. 38.</b> Výsledky jednotlivých transektů z programu RiverSurveyor Live – Přibice 15.09.2021 [10].....	37
<b>Obr. 39.</b> Ukázka listu s vyhodnocením integračního odběru.....	38
<b>Obr. 40.</b> Analýza korelace střední koncentrace suspendovaných látok na lokálně měřené koncentraci u sondy – čtyři měření příčného profilu, vícebodová metoda vyhodnocení.....	41
<b>Obr. 41.</b> Analýza korelace střední koncentrace suspendovaných látok na lokálně měřené koncentraci u sondy – čtyři měření příčného profilu, integrační metoda vyhodnocení.....	41
<b>Obr. 42.</b> Analýza korelace střední koncentrace suspendovaných látok na lokálně měřené koncentraci u sondy – tři měření příčného profilu, vícebodová metoda vyhodnocení.....	42
<b>Obr. 43.</b> Analýza korelace střední koncentrace suspendovaných látok na lokálně měřené koncentraci u sondy – tři měření příčného profilu, integrační metoda vyhodnocení.....	42

**Obr. 44.** Analýza korelace střední koncentrace suspendovaných látok na lokálně měřené koncentraci u sondy – dvě měření příčného profilu, vícebodová metoda vyhodnocení.....43

**Obr. 45.** Analýza korelace střední koncentrace suspendovaných látok na lokálně měřené koncentraci u sondy – dvě měření příčného profilu, integrační metoda vyhodnocení.....43

## SEZNAM POUŽITÝCH ZKRATEK A SYMBOLŮ

ADCP	acoustic Doppler current profiler,
$b$ [m]	vzdálenost od referenčního bodu, resp. spolupůsobící šířka,
BMLFUW	Bundesministerium für Land- und Forstwirtschaft, Umwelt und Wasserwirtschaft,
$C_s$ [-]	koeficient asymetrie,
$C_v$ [-]	koeficient variace,
ČHMÚ	Český hydrometeorologický ústav,
$d$ [m]	velikost suchých částic,
$D$ [(t/r) <sup>2</sup> ]	disperze,
EDI	equal discharge increment,
EWI	equal width increment,
$k_p$ [-]	koeficient příčného profilu,
$k_s$ [-]	koeficient kalibrace sondy,
$m_a$ [mg]	hmotnost podložky a membránového filtru po vysušení,
$m_b$ [mg]	hmotnost podložky, membránového filtru a odfiltrovatelné sušiny po vysušení,
$m_T$ [mg]	sušina,
NEK	norma enviromentální kvality,
NV	nařízení vlády,
$\bar{Q}$ $Q_s$ [t/r]	střední hodnota transportu suspendované hmoty,
$P$ [%]	hmotnostní zastoupení,
$Q$ [m <sup>3</sup> /s]	průtok,
$Q_N$ [m <sup>3</sup> /s]	N-letý průtok,
$Q_S$ [g/s, kg/s]	transport suspendované hmoty,
$q_{si}$ [g/(m·s)]	transport suspendované hmoty na vertikále,
$s_0$ [mg/l]	koncentrace suspendovaných látek,
SEDECO	Sediments, ecosystem services and interrelation with floods and droughts in the AT-CZ border region,
$s_k$ [mg/l]	koncentrace suspendovaných látek u sondy,
$s_m$ [mg/l]	střední koncentrace suspendovaných látek,
$s_{ml}$ [mg/l]	(střední) koncentrace suspendovaných látek integrovaného vzorku,
$s_s$ [NTU]	záznam sondy,

SSC	suspended sediment concentration,
$t_w$ [m]	hloubka vody,
$t_{wl}$ [m]	hloubka vody integrovaného vzorku,
$v$ [m/s]	rychllosť proudenia,
$V'_{S,m}$ [t/km <sup>2</sup> ]	odnos splavenin z povodí,
VD	vodné dielo,
$v_{ml}$ [m/s]	stredná rychlosť proudenia,
$V_P$ [l]	objem vzorku,
$V_{S,m}$ [t]	množstvo plavenin,
$\Sigma$	suma,
$\sigma$ [t/r]	směrodatná odchylka.